arXiv:0810.5030v1 [math.RT] 28 Oct 2008

LOCALISATION DE FAISCEAUX CARACTÈRES

PRAMOD N. ACHAR ET ANNE-MARIE AUBERT

Résumé. Nous obtenons une formule pour les valeurs de la fonction caractéristique d'un faisceau caractère en fonction de la théorie des représentations de certains groupes finis, liés au groupe de Weyl. Cette formule, qui généralise des résultats antérieurs de Mœglin et de Waldspurger, dépend de la connaissance de certains sous-groupes réductifs admettant un faisceau caractère cuspidal. Dans un second temps, afin de rendre la formule plus explicite dans le cas d'un groupe quasi-simple, nous déterminons ces sous-groupes à conjugaison près.

Abstract. We obtain a formula for the values of the characteristic function of a character sheaf, in terms of the representation theory of certain finite groups related to the Weyl group. This formula, a generalization of previous results due to Mœglin and Waldspurger, depends on knowledge of certain reductive subgroups that admit cuspidal character sheaves. For quasi-simple groups, we make the formula truly explicit by determining all such subgroups upto conjugation.

1. Introduction

Soit $\mathbf{G}$ un groupe algébrique réductif connexe sur la clôture algébrique d'un corps fini $\mathbb{F}_q$ et défini sur ce dernier. Nous noterons $G = \mathbf{G}^F$ le groupe (fini) des éléments de $\mathbf{G}$ fixés par l'endomorphisme de Frobenius F associé à la structure $\mathbb{F}_q$-rationnelle du groupe $\mathbf{G}$.

Soit $\mathbf{L}$ un sous-groupe de Lévi d'un sous-groupe parabolique de $\mathbf{G}$. Nous notons $\mathbf{L}_{\mathrm{der}}$ et $\mathrm{Z}^\circ(\mathbf{L})$ respectivement son groupe dérivé et la composante neutre de son centre. Nous considérons une classe de conjugaison $\mathcal{O}$ de $\mathbf{L}/\mathrm{Z}^\circ(\mathbf{L})$, nous notons Σ l'image réciproque de celle-ci dans $\mathbf{L}$ via la projection naturelle $\mathbf{L} \to \mathbf{L}/\mathrm{Z}^\circ(\mathbf{L})$ et Σ_{ss} l'ensemble des parties semi-simples des éléments de Σ. Nous supposons l'existence d'un système local $\mathcal{E}$ sur Σ tel que la paire $(\Sigma, \mathcal{E})$ soit cuspidale au sens de [4, 2.4].

Soit g un élément de G, fixé une fois pour toutes. Nous l'écrivons $g = \sigma v$, où σ est semi-simple et v est unipotent et commute à σ. Nous posons $\mathbf{H} := \mathrm{Z}^\circ_{\mathbf{G}}(\sigma)$.

Soit x un élément de $\mathbf{G}$ tel que $x^{-1}\sigma x \in \Sigma_{\mathrm{ss}}$. On a alors $\sigma \in x\mathbf{L}x^{-1}$. Posons

$$\mathbf{M}_x := (x\mathbf{L}x^{-1}) \cap \mathbf{H} = \mathrm{Z}_{\mathbf{H}}(x\mathrm{Z}^\circ(\mathbf{L})x^{-1})$$

et considérons l'ensemble

$$\mathcal{M} = \{\mathbf{M}_x \,:\, x^{-1}\sigma x \in \Sigma_{\mathrm{ss}}\}$$

de sous-groupes de Lévi de $\mathbf{H}$ (isomorphes car conjugués sous $\mathbf{G}$). Nous dirons que deux éléments de $\mathcal{M}$ sont équivalents s'ils sont conjugués sous $\mathbf{H}$. L'ensemble $\mathcal{M}$

Date: 28 octobre 2008.

1991 *Mathematics Subject Classification.* 20C33, 20G40.

Mots clés. faisceaux caractères, caractères des groupes réductifs finis, représentations des groupes de Weyl, classes unipotentes, support unipotent.

Le premier auteur était partiellement appuyé par la subvention DMS-0500873 de la NSF.

est ainsi partitionné en un nombre fini de classes d'équivalence

$$\mathcal{M} = \mathcal{M}_1 \sqcup \cdots \sqcup \mathcal{M}_r.$$

Nous démontrerons au Théorème 6.2 que, si $\mathbf{G}$ est semi-simple, quasi-simple, et différent de PSp_{2n}, PSO_{2n}, $\frac{1}{2}\mathrm{Spin}_{2n}$ et $\mathrm{E}_7^{\mathrm{sc}}$, alors tous les membres de $\mathcal{M}$ sont conjugués sous $\mathbf{H}$ et que si $\mathbf{G}$ est l'un de ces quatres groupes, alors $\mathcal{M}$ se répartit en une ou deux classes de conjugaison sous $\mathbf{H}$.

Pour tout $j \in \{1, \ldots, r\}$, nous fixons un élément $g_{a_j} \in \mathbf{G}$ tel que $\mathbf{M}_{g_{a_j}} \in \mathcal{M}_j$, et nous posons

$$\mathbf{T}_j^{\mathbf{H}} := g_{a_j} \mathrm{Z}^\circ(\mathbf{L}) g_{a_j}^{-1} \qquad \text{et} \qquad \mathbf{M}_j := \mathbf{M}_{g_{a_j}} = \mathrm{Z}_{\mathbf{H}}(\mathbf{T}_j^{\mathbf{H}}).$$

Nous posons

$$W_{\mathbf{M}_j}^{\mathbf{H}} := \mathrm{N}_{\mathbf{H}}(\mathbf{M}_j)/\mathbf{M}_j \quad \text{et} \quad W_{\mathbf{L}}^{\mathbf{G}} := \mathrm{N}_{\mathbf{G}}(\mathbf{L})/\mathbf{L}.$$

Soit a_j l'élément de $W_{\mathbf{L}}^{\mathbf{G}}$ tel que $F(a_j)$ soit l'image de $g_{a_j}^{-1} F(g_{a_j})$ dans $W_{\mathbf{L}}^{\mathbf{G}}$. L'application $\tilde{\iota}_j \colon \mathrm{N}_{\mathbf{H}}(\mathbf{M}_j) \to \mathrm{N}_{\mathbf{G}}(\mathbf{L})$ définie par $\tilde{\iota}_j(h) = g_{a_j}^{-1} h g_{a_j}$ induit un plongement

$$\iota_j \colon W_{\mathbf{M}_j}^{\mathbf{H}} \hookrightarrow W_{\mathbf{L}}^{\mathbf{G}}.$$

Le morphisme de Frobenius agit à la fois sur $W_{\mathbf{L}}^{\mathbf{G}}$ et sur chacun des $W_{\mathbf{M}_j}^{\mathbf{H}}$, mais le plongement ι_j n'est en général pas équivariant pour ces deux actions. Nous garderons la notation $F \colon W_{\mathbf{L}}^{\mathbf{G}} \to W_{\mathbf{L}}^{\mathbf{G}}$ pour l'automorphisme de $W_{\mathbf{L}}^{\mathbf{G}}$ induit par le Frobenius, et noterons $\eta_j \colon W_{\mathbf{M}_j}^{\mathbf{H}} \to W_{\mathbf{M}_j}^{\mathbf{H}}$ l'automorphisme *inverse* à celui qui est induit par le Frobenius sur $W_{\mathbf{M}_j}^{\mathbf{H}}$.

Soit $\widetilde{W}_{\mathbf{M}_j}^{\mathbf{H}}$ le produit semi-direct de $W_{\mathbf{M}_j}^{\mathbf{H}}$ par le groupe cyclique engendré par η_j. Nous notons $\mathrm{Irr}(W_{\mathbf{M}_j}^{\mathbf{H}})_{\mathrm{ex}}$ l'ensemble des représentations irréductibles de $W_{\mathbf{M}_j}^{\mathbf{H}}$ qui s'étendent en des représentations de $\widetilde{W}_{\mathbf{M}_j}^{\mathbf{H}}$. Pour tout $E' \in \mathrm{Irr}(W_{\mathbf{M}_j}^{\mathbf{H}})_{\mathrm{ex}}$, nous fixons une fois pour toutes une extension $\widetilde{E}'$ à $\widetilde{W}_{\mathbf{M}_j}^{\mathbf{H}}$.

Nous associons à tout élément w de $W_{\mathbf{M}_j}^{\mathbf{H}}$ une certaine fonction de Green Q_w (voir (18)) et pour tout $E' \in \mathrm{Irr}(W_{\mathbf{M}_j}^{\mathbf{H}})_{\mathrm{ex}}$, nous posons

$$Q_{E'}(v) := \frac{1}{|W_{\mathbf{M}_j}^{\mathbf{H}}|} \sum_{w' \in W_{\mathbf{M}_j}^{\mathbf{H}}} \mathrm{Tr}(\eta_j w', \tilde{E}') Q_{w'}(v).$$

Nous prenons pour $\mathcal{E}$ (système local sur Σ) l'image réciproque, sous l'application naturelle $\mathbf{L} \to \mathbf{L}/\mathbf{L}_{\mathrm{der}} \times \mathbf{L}/\mathrm{Z}^\circ(\mathbf{L})$, du produit tensoriel externe d'un système local Kummerien de rang 1 sur le tore $\mathbf{L}/\mathbf{L}_{\mathrm{der}}$ et d'un système local irréductible $\mathbf{L}$-équivariant sur $\mathcal{O}$. Nous supposons que la paire cuspidale $(\Sigma, \mathcal{E})$ est F-stable, et fixons un isomorphisme $\varphi_0 \colon F^*\mathcal{E} \xrightarrow{\sim} \mathcal{E}$. Nous posons

$$W_{\Sigma,\mathcal{E}}^{\mathbf{G}} := \left\{ n \in \mathrm{N}_{\mathbf{G}}(\mathbf{L}) \,:\, n\Sigma n^{-1} = \Sigma,\ \mathrm{ad}(n)^*\mathcal{E} \xrightarrow{\sim} \mathcal{E} \right\} / \mathbf{L}.$$

Nous supposons que $W_{\Sigma,\mathcal{E}}^{\mathbf{G}}$ est produit semi-direct d'un groupe de Coxeter fini par un groupe abélien fini (dans le cas où le centre de $\mathbf{G}$ est connexe, $W_{\Sigma,\mathcal{E}}^{\mathbf{G}}$ est un groupe de Coxeter fini, voir par exemple [9, (5.16)], [10, § 4.2]). Nous notons $\Phi_{\Sigma,\mathcal{E}}^+$ l'ensemble des racines positives associées à ce groupe de Coxeter. Soit

$$Z_{\Sigma,\mathcal{E}} = \left\{ n \in \mathrm{N}_{\mathbf{G}}(\mathbf{L}) \,:\, F(n\Sigma n^{-1}) = \Sigma,\ \mathrm{ad}(n)^* F^*\mathcal{E} \xrightarrow{\sim} \mathcal{E} \right\} / \mathbf{L}.$$

Il existe un élément unique w_1 du groupe de Weyl de $\mathbf{G}$ tel que $Z_{\Sigma,\mathcal{E}} = w_1 W^{\mathbf{G}}_{\Sigma,\mathcal{E}}$ et tel que l'application $\gamma_1 \colon W^{\mathbf{G}}_{\Sigma,\mathcal{E}} \to W^{\mathbf{G}}_{\Sigma,\mathcal{E}}$ définie par $\gamma_1(w) = w_1^{-1} F^{-1}(w) w_1$ envoie tout élément de $\Phi^+_{\Sigma,\mathcal{E}}$ sur une racine positive. Soit $\widetilde{W}^{\mathbf{G}}_{\Sigma,\mathcal{E}}$ le produit semi-direct de $W^{\mathbf{G}}_{\Sigma,\mathcal{E}}$ par le groupe cyclique engendré par γ_1. Nous notons $\mathrm{Irr}(W^{\mathbf{G}}_{\Sigma,\mathcal{E}})_{\mathrm{ex}}$ l'ensemble des représentations irréductibles de $W^{\mathbf{G}}_{\Sigma,\mathcal{E}}$ qui s'étendent en des représentations de $\widetilde{W}^{\mathbf{G}}_{\Sigma,\mathcal{E}}$. Pour $E \in \mathrm{Irr}(W^{\mathbf{G}}_{\Sigma,\mathcal{E}})_{\mathrm{ex}}$, nous choisissons une extension $\widetilde{E}$ de E qui est définie sur $\mathbb{Q}$.

Un rôle important sera joué par les ensembles de double classes

$$\mathcal{N}_j := W^{\mathbf{G}}_{\Sigma,\mathcal{E}} \backslash W^{\mathbf{G}}_{\mathbf{L}} / W^{\mathbf{H}}_{\mathbf{M}_j},$$

pour $1 \leq j \leq r$. Dans chaque double classe $\underline{\nu} \in \mathcal{N}_j$, nous choisissons, une fois pour toutes, un représentant $w_{\underline{\nu}}$, nous posons

$$W(\underline{\nu}) = w_1 W^{\mathbf{G}}_{\Sigma,\mathcal{E}} \cap F^{-1}(w_{\underline{\nu}})(a_j W^{\mathbf{H}}_{\mathbf{M}\,j}) w_{\underline{\nu}}^{-1},$$

et nous définissons deux plongements comme suit :

$$\begin{aligned} &\lambda \colon W(\underline{\nu}) \to W^{\mathbf{H}}_{\mathbf{M}_j}, && \lambda(\underline{w}) = \eta_j^{-1}(a_j^{-1} F^{-1}(w_{\underline{\nu}}^{-1}) \underline{w} w_{\underline{\nu}}) \\ &\kappa \colon W(\underline{\nu}) \to W^{\mathbf{G}}_{\Sigma,\mathcal{E}}, && \kappa(\underline{w}) = \gamma_1^{-1}(w_1^{-1} \underline{w}). \end{aligned}$$

Nous introduisons maintenant une famille d'accouplements, paramétrée par les $\mathcal{N}_j$, qui relient les ensembles $\mathrm{Irr}(W^{\mathbf{G}}_{\Sigma,\mathcal{E}})_{\mathrm{ex}}$ et $\mathrm{Irr}(W^{\mathbf{H}}_{\mathbf{M}_j})_{\mathrm{ex}}$. Soit $\underline{\nu} \in \mathcal{N}_j$. Si $E \in \mathrm{Irr}(W^{\mathbf{G}}_{\Sigma,\mathcal{E}})_{\mathrm{ex}}$ et $E' \in \mathrm{Irr}(W^{\mathbf{H}}_{\mathbf{M}_j})_{\mathrm{ex}}$, on pose

$$\langle E, E' \rangle_{\underline{\nu}} := \frac{1}{|W(\underline{\nu})|} \sum_{\underline{w} \in W(\underline{\nu})} \mathrm{Tr}(\gamma_1 \kappa(\underline{w}), \tilde{E}) \, \mathrm{Tr}(\eta_j \lambda(\underline{w}), \tilde{E}').$$

Nous choisissons un représentant $\dot{w}_1$ de w_1 dans $\mathrm{N}_{\mathbf{G}}(\mathbf{L})$ ainsi qu'un élément $g_{\dot{w}_1}$ de $\mathbf{G}$ tel que $g_{\dot{w}_1}^{-1} F(g_{\dot{w}_1}) = F(\dot{w}_1)$, et nous posons

$$\mathbf{L}^{w_1} = g_{\dot{w}_1} \mathbf{L} g_{\dot{w}_1}^{-1}, \quad \Sigma^{w_1} = g_{\dot{w}_1} \Sigma g_{\dot{w}_1}^{-1}, \quad \mathcal{E}^{w_1} = \mathrm{ad}(g_{\dot{w}_1}^{-1})^* \mathcal{E}.$$

Nous posons

$$A_0 = \mathrm{IC}(\bar{\Sigma}, \mathcal{E})[\dim \Sigma]$$

(lequel est un faisceau caractère cuspidal sur $\mathbf{L}$, si la caractéristique de $\mathbb{F}_q$ est bonne pour $\mathbf{G}$) et nous notons

$$K = K(\mathbf{L}, \Sigma, \mathcal{E}) = \mathrm{ind}_{\mathbf{P}}^{\mathbf{G}} A_0$$

le faisceau pervers semi-simple sur $\mathbf{G}$ paraboliquement induit à partir de A_0 au sens de Lusztig ; K est naturellement muni d'une structure mixte, nous notons $\varphi \colon F^* K \xrightarrow{\sim} K$ l'isomorphisme correspondant à cette dernière et $\chi_{K,\varphi} \colon G \to \bar{\mathbb{Q}}_\ell$ la fonction caractéristique de (K, φ). Les composantes irréductibles de K sont des faisceaux caractères F-stables (la structure mixte $\varphi_A \colon F^* A \xrightarrow{\sim} A$ sur un tel faisceau caractère A est induite par φ) et tout faisceau caractère F-stable sur $\mathbf{G}$ est une composante d'un induit de ce type.

Nous définissons alors

$$K^{w_1} := K(\mathbf{L}^{w_1}, \Sigma^{w_1}, \mathcal{E}^{w_1}),$$

nous fixons $\varphi_0^{w_1} \colon F^* \mathcal{E}^{w_1} \xrightarrow{\sim} \mathcal{E}^{w_1}$ de sorte que l'isomorphisme $F^* A_0 \xrightarrow{\sim} A_0$ induit coïncide avec φ_{A_0} et nous notons $\varphi^{w_1} \colon F^* K^{w_1} \xrightarrow{\sim} K^{w_1}$ l'isomorphisme par φ.

Le complexe K^{w_1} admet la décomposition suivante :

$$K^{w_1} = \bigoplus_A A \otimes V_A,$$

où $V_A = \mathrm{Hom}_{\mathcal{M}G}(A, K^{w_1})$ est une représentation irréductible de $W^{\mathbf{G}}_{\Sigma,\mathcal{E}}$.

Pour tout faisceau caractère $A = A_E$, avec $E \in \mathrm{Irr}(W^{\mathbf{G}}_{\Sigma,\mathcal{E}})_{\mathrm{ex}}$, nous obtenons au Théorème 4.3 la formule suivante pour la valeur de la fonction caractéristique de A_E

$$\chi_{A_E}(\sigma v) = \sum_{j=1}^{r} \sum_{\underline{\nu} \in \mathcal{N}_j} \sum_{E' \in \mathrm{Irr}(W^{\mathbf{H}}_{\mathbf{M}_j})_{\mathrm{ex}}} \langle E, E' \rangle_{\underline{\nu}} Q_{E'}(v).$$

Un cas particulier de la formule ci-dessus (celui correspondant à $\sigma = 1$), dû à Lusztig (*cf.* [6]) a été l'un des ingrédients essentiels de [1]. Dans le cas "opposé" au précédent (correspondant aux faisceaux caractères dans la série unipotente), une formule du type ci-dessus a été obtenue par Shoji en [11, Lemma 4.5]. Des formules générales pour les groupes symplectiques et spéciaux orthogonaux figurent dans les travaux de Mœglin et Waldspurger (l'entier r est alors égal à 1). Notre formule en est inspirée (en particulier de [12, Proposition 7.2]) et notre démonstration est une combinaison de [7, Proposition 2.16] et [12, Lemme 7.1]. Notre formule est cependant moins explicite que dans *loc. cit.* dans la mesure où nous n'avons pas explicité les structures mixtes concernées.

2. Quelques Rappels sur les Faisceaux Caractères

2.1. **Complexes admissibles.** Soient $\bar{\mathbb{F}}_q$ la clôture algébrique d'un corps fini $\mathbb{F}_q$ de caractéristique notée p et $\mathbf{G}$ un groupe algébrique réductif connexe sur $\bar{\mathbb{F}}_q$ qui est défini sur $\mathbb{F}_q$. Nous noterons F l'endomorphisme de Frobenius associé à la structure $\mathbb{F}_q$-rationnelle de $\mathbf{G}$ et G le groupe (fini) $\mathbf{G}^F$ des points de $\mathbf{G}$ fixes par F.

Nous notons $\mathcal{M}(\mathbf{G})$ la catégorie des faisceaux pervers sur $\mathbf{G}$.

Soit $\mathbf{L}$ un sous-groupe de Lévi d'un sous-groupe parabolique $\mathbf{P}$ de $\mathbf{G}$. Nous notons $\mathbf{L}_{\mathrm{der}}$ le groupe dérivé de $\mathbf{L}$ et $\mathbf{T}_1$ la composante neutre $\mathrm{Z}^\circ(\mathbf{L})$ du centre de $\mathbf{L}$ (donc $\mathbf{L} = \mathrm{Z}_{\mathbf{G}}(\mathbf{T}_1)$).

Soit Σ l'image réciproque dans $\mathbf{L}$ d'une classe de conjugaison $\mathcal{O}$ de $\mathbf{L}/\mathbf{T}_1$ sous la projection naturelle $\mathbf{L} \to \mathbf{L}/\mathbf{T}_1$. Soit $\mathcal{E}$ un système local sur Σ, qui est l'image réciproque, sous l'application naturelle $\mathbf{L} \to \mathbf{L}/\mathbf{L}_{\mathrm{der}} \times \mathbf{L}/\mathbf{T}_1$, de $\mathcal{L}' \boxtimes \mathcal{E}'$, où $\mathcal{L}'$ est un système local Kummerien de rang 1 sur le tore $\mathbf{L}/\mathbf{L}_{\mathrm{der}}$ et $\mathcal{E}'$ est un système local irréductible $\mathbf{L}$-équivariant (pour l'action de conjugaison) sur $\mathcal{O}$.

Nous supposons que la paire $(\Sigma, \mathcal{E})$ est cuspidale au sens de [4, 2.4]. Nous la supposons aussi F-stable (*i.e.,* $F(\Sigma) = \Sigma$ et $F^*\mathcal{E} \xrightarrow{\sim} \mathcal{E}$), nous fixons un isomorphisme $\varphi' \colon F^*\mathcal{E}' \xrightarrow{\sim} \mathcal{E}'$ et notons $\varphi_0 \colon F^*\mathcal{E} \xrightarrow{\sim} \mathcal{E}$ l'isomorphisme induit par φ'. Nous posons $A_0 = \mathrm{IC}(\bar{\Sigma}, \mathcal{E})[\dim \Sigma]$.

Remarque 2.1. Si la caractéristique p est *presque bonne* pour $\mathbf{G}$ (*i.e.,* p est bonne pour tout facteur de $\mathbf{G}$ de type exceptionnel et il n'y a pas de condition pour les facteurs de type classique), alors A_0 est un faisceau caractère cuspidal sur $\mathbf{L}$.

Soit $K = K(\mathbf{L}, \Sigma, \mathcal{E}) = \mathrm{ind}_{\mathbf{P}}^{\mathbf{G}} A_0$ le faisceau pervers sur $\mathbf{G}$ induit à partir de A_0 (*cf.* [5, §4.1]). Il est semi-simple et est naturellement muni d'une structure mixte (*cf.* [5, §8.1]). Nous notons $\varphi \colon F^*K \xrightarrow{\sim} K$ l'isomorphisme correspondant et $\chi_{K,\varphi} \colon G \to$

$\bar{\mathbb{Q}}_\ell$ la fonction caractéristique de (K,φ), qui est une fonction centrale sur G et est définie par

$$\chi_{K,\varphi}(x) = \sum_i (-1)^i \operatorname{Tr}(\varphi, \mathcal{H}^i_x(K)),$$

où $\mathcal{H}^i_x(K)$ désigne la fibre en $x \in G$ du i-ème faisceau de cohomologie $\mathcal{H}^i(K)$ de K.

Les composantes irréductibles de K sont des faisceaux caractères F-stables (la structure mixte $\varphi_A \colon F^*A \xrightarrow{\sim} A$ sur un tel faisceau caractère A est induite par φ) et tout faisceau caractère F-stable sur $\mathbf{G}$ est composante d'un induit de ce type.

Nous posons

$$W^{\mathbf{G}}_{\Sigma,\mathcal{E}} := \left\{ n \in \mathrm{N}_{\mathbf{G}}(\mathbf{L}) \,:\, n\Sigma n^{-1} = \Sigma,\ \mathrm{ad}(n)^*\mathcal{E} \xrightarrow{\sim} \mathcal{E} \right\} / \mathbf{L}. \tag{1}$$

L'algèbre d'endomorphismes $\mathrm{End}_{\mathcal{M}\mathbf{G}}(K)$ de K dans $\mathbf{G}$ est isomorphe à l'algèbre de groupe $\bar{\mathbb{Q}}_\ell W^{\mathbf{G}}_{\Sigma,\mathcal{E}}$ tordue par un 2-cocyle ([4, 3.4]). Shoji a montré en [9, Lem. 5.9] que le cocycle est trivial lorsque le centre $\mathrm{Z}(\mathbf{G})$ de $\mathbf{G}$ est connexe et que le groupe $\mathbf{G}/\mathrm{Z}(\mathbf{G})$ est simple. *Nous supposons dorénavant le cocycle trivial.*

Soit

$$Z_{\Sigma,\mathcal{E}} = \left\{ n \in \mathrm{N}_{\mathbf{G}}(\mathbf{L}) \,:\, F(n\Sigma n^{-1}) = \Sigma,\ \mathrm{ad}(n)^*F^*\mathcal{E} \xrightarrow{\sim} \mathcal{E} \right\} / \mathbf{L}.$$

Lorsque le centre de $\mathbf{G}$ est connexe, le groupe $W^{\mathbf{G}}_{\Sigma,\mathcal{E}}$ est un groupe de Coxeter fini (voir [9, (5.16)] et [10, § 4.2]). En général $W^{\mathbf{G}}_{\Sigma,\mathcal{E}}$ devrait être produit semi-direct d'un groupe de Coxeter fini par un groupe abélien fini. Nous notons $\Phi^+_{\Sigma,\mathcal{E}}$ l'ensemble des racines positives associées à ce groupe de Coxeter.

Il existe un élément unique w_1 du groupe de Weyl de $\mathbf{G}$ tel que $Z_{\Sigma,\mathcal{E}} = w_1 W^{\mathbf{G}}_{\Sigma,\mathcal{E}}$ et tel que l'application $\gamma_1 \colon W^{\mathbf{G}}_{\Sigma,\mathcal{E}} \to W^{\mathbf{G}}_{\Sigma,\mathcal{E}}$ définie par $\gamma_1(w) = w_1^{-1}F^{-1}(w)w_1$ envoie tout élément de $\Phi^+_{\Sigma,\mathcal{E}}$ sur une racine positive. L'isomorphisme $\bar{\mathbb{Q}}_\ell W^{\mathbf{G}}_{\Sigma,\mathcal{E}} \simeq \mathrm{End}(K)$ donne lieu à un isomorphisme entre les deux diagrammes suivants :

$$\begin{tikzcd}
W^{\mathbf{G}}_{\Sigma,\mathcal{E}} \arrow[d, bend right, "F^{-1}"'] & \\
W^{\mathbf{G}}_{\Sigma,F^*\mathcal{E}} \arrow[r, "\cdot w_1"'] & Z^{\mathbf{G}}_{\Sigma,\mathcal{E}} \arrow[ul, "w_1^{-1}\cdot"']
\end{tikzcd}
\qquad
\begin{tikzcd}
\mathrm{End}(K) \arrow[d, bend right, "F^*"'] & \\
\mathrm{End}(F^*K) \arrow[r, "\circ\varphi^{-1}"'] & \mathrm{Hom}(K, F^*K) \arrow[ul, "\varphi\circ"']
\end{tikzcd}$$

Pour $f \in \mathrm{End}(K)$, on a donc $\gamma_1(f) = \varphi \circ F^*(f) \circ \varphi^{-1}$.

Soit $\widetilde{W}^{\mathbf{G}}_{\Sigma,\mathcal{E}}$ le produit semi-direct de $W^{\mathbf{G}}_{\Sigma,\mathcal{E}}$ par le groupe cyclique engendré par γ_1. Nous notons $\mathrm{Irr}(W^{\mathbf{G}}_{\Sigma,\mathcal{E}})_{\mathrm{ex}}$ l'ensemble des représentations irréductibles de $W^{\mathbf{G}}_{\Sigma,\mathcal{E}}$ qui s'étendent en des représentations de $\widetilde{W}^{\mathbf{G}}_{\Sigma,\mathcal{E}}$. Pour $E \in \mathrm{Irr}(W^{\mathbf{G}}_{\Sigma,\mathcal{E}})_{\mathrm{ex}}$, nous choisissons une extension $\widetilde{E}$ de E qui est définie sur $\mathbb{Q}$.

Nous associons à tout élément w de $\mathrm{N}_{\mathbf{G}}(\mathbf{L})/\mathbf{L}$ le sous-groupe de Lévi $\mathbf{L}^w$ (F-stable) de $\mathbf{G}$ défini comme suit : nous choisissons un représentant $\dot{w}$ de w dans $\mathrm{N}_{\mathbf{G}}(\mathbf{L})$ ainsi qu'un élément $g_{\dot{w}}$ de $\mathbf{G}$ tel que $g_{\dot{w}}^{-1}F(g_{\dot{w}}) = F(\dot{w})$, et nous posons

$$\mathbf{L}^w := g_{\dot{w}}\mathbf{L}g_{\dot{w}}^{-1}. \tag{2}$$

Soient

$$\Sigma^w = g_{\dot{w}}\Sigma g_{\dot{w}}^{-1}, \quad \mathcal{E}^w = \mathrm{ad}(g_{\dot{w}}^{-1})^*\mathcal{E}, \quad K^w = K(\mathbf{L}^w, \Sigma^w, \mathcal{E}^w), \tag{3}$$

et soient $\varphi_0^w \colon F^*\mathcal{E}^w \xrightarrow{\sim} \mathcal{E}^w$ et $\varphi^w \colon F^*K^w \xrightarrow{\sim} K^w$ les isomorphismes respectivement induits par φ_0 et par φ.

Nous construisons $\varphi_0^{w_1 w}\colon F^*\mathcal{E}^{w_1 w} \xrightarrow{\sim} \mathcal{E}^{w_1 w}$ et $\varphi^{w_1 w}\colon F^* K^{w_1 w} \xrightarrow{\sim} K^{w_1 w}$ au moyen de $\dot{w} \circ \mathrm{ad}(\dot{w})^* \varphi_0^{w_1}\colon (F\dot{w}_1\dot{w})^*\mathcal{E} \xrightarrow{\sim} \mathcal{E}$. Nous fixons $\varphi_0^{w_1}$, comme il est loisible, de sorte que $\varphi_0^{w_1}\colon F^* A_0 \xrightarrow{\sim} A_0$ coïncide avec $\varphi_{A_0} = \varphi_0$.

Le complexe K^{w_1} admet la décomposition suivante :

$$K^{w_1} = \bigoplus_A A \otimes V_A,$$

où $V_A = \mathrm{Hom}_{\mathcal{M}G}(A, K^{w_1})$ est une représentation irréductible de $W^{\mathbf{G}}_{\Sigma,\mathcal{E}}$.

Pour chaque composante A de K^{w_1}, choisissons une structure mixte $\varphi_A\colon F^*A \xrightarrow{\sim} A$. Ensuite, munissons V_A d'une structure de $\widetilde{W}^{\mathbf{G}}_{\Sigma,\mathcal{E}}$-module comme suit : pour tout $v \in V_A$, posons $\gamma_1^{-1} \cdot v = \varphi^{w_1} \circ F^*(v)\varphi_A$. Il est facile de vérifier que cette structure est bien définie : pour tout $\theta \in \mathrm{End}(K)$, on a

$$\begin{aligned}\gamma_1(\theta)(\gamma_1^{-1} \cdot v) &= (\varphi^{w_1} \circ F^*(\theta) \circ (\varphi^{w_1})^{-1}) \circ (\varphi^{w_1} \circ F^*(v) \circ \varphi_A) \\ &= \varphi^{w_1} \circ F^*(\theta \circ v) \circ \varphi_A = \gamma_1^{-1} \cdot (\theta \circ v).\end{aligned}$$

Soit E une représentation irréductible de $W^{\mathbf{G}}_{\Sigma,\mathcal{E}}$ isomorphe à V_A. Quitte à remplacer φ_A par le produit de celui-ci par une racine de l'unité, nous pouvons supposer que V_A est isomorphe à $\widetilde{E}$ comme représentation de $\widetilde{W}^{\mathbf{G}}_{\Sigma,\mathcal{E}}$, pour tout $A = A_E$ où ν_A correspond à γ_1^{-1} sur $\tilde{E}$. Les arguments similaires à ceux de [5, 10.4, 10.6], [9, (2.17), (5.17)] montrent que

$$\chi_{K^{w_1 w}, \varphi^{w_1 w}} = \sum_{E \in \mathrm{Irr}(W_{\Sigma,\mathcal{E}})_{\mathrm{ex}}} \mathrm{Tr}(\gamma_1 w, \tilde{E})\, \chi_{A_E}. \tag{4}$$

Il s'ensuit

$$\chi_{A_E} = |W^{\mathbf{G}}_{\Sigma,\mathcal{E}}|^{-1} \sum_{w \in W^{\mathbf{G}}_{\Sigma,\mathcal{E}}} \mathrm{Tr}(\gamma_1 w, \tilde{E})\, \chi_{K^{w_1 w}, \varphi^{w_1 w}}. \tag{5}$$

2.2. **La formule du caractère.** Pour déterminer la valeur de χ_{A_E} sur un élément g de G, nous sommes donc ramenés à calculer $\chi_{K^{w_1 w}, \varphi^{w_1 w}}(g)$. Pour cela, nous écrivons $g = \sigma v$, où σ est semi-simple et v est unipotent et commute à σ et nous allons utiliser la formule du caractère qui suit.

Nous notons Σ_{ss} l'ensemble des parties semi-simples des éléments de Σ, et nous posons $\mathbf{H} := \mathrm{Z}^\circ_{\mathbf{G}}(\sigma)$ et $H = \mathbf{H}^F$.

Soit x un élément de G tel que $x^{-1}\sigma x \in \Sigma_{\mathrm{ss}}$. On a alors $\sigma \in x\mathbf{L}x^{-1}$. Posons

$$\mathbf{M}_x := (x\mathbf{L}x^{-1}) \cap \mathbf{H}. \tag{6}$$

Le groupe $\mathbf{M}_x$ est un sous-groupe de Lévi d'un sous-groupe parabolique de $\mathbf{H}$.

Nous notons $\mathcal{O}_x$ l'ensemble des éléments unipotents v' de $\mathbf{H}$ tels que $\sigma v' \in x\Sigma x^{-1}$. L'ensemble $\mathcal{O}_x$ est une classe unipotente de $\mathbf{M}_x$ (*cf.* [5, Proposition 7.11(c)]). Soit $\mathcal{F}_x$ le système local sur $\mathcal{O}_x$, défini comme l'image réciproque de $\mathcal{E}$ sous l'application $v \mapsto x^{-1}\sigma v x$ de $\mathcal{O}_x$ dans Σ. Cette application étant définie sur $\mathbb{F}_q$, l'isomorphisme $\varphi_0\colon F^*\mathcal{E} \xrightarrow{\sim} \mathcal{E}$ induit un isomorphisme $\varphi_x\colon F^*\mathcal{F}_x \xrightarrow{\sim} \mathcal{F}_x$.

Soit maintenant $1 \boxtimes \mathcal{F}_x$ l'image réciproque de $\mathcal{F}_x$ sous l'application $\mathrm{Z}^\circ(\mathbf{M}_x)\mathcal{O}_x \to \mathcal{O}_x$. La paire $(\mathrm{Z}^\circ(\mathbf{M}_x)\mathcal{O}_x, 1 \boxtimes \mathcal{F}_x)$ est une paire cuspidale F-stable sur $\mathbf{M}_x$.

Soit $A_x = \mathrm{IC}(\overline{\mathrm{Z}^\circ(\mathbf{M}_x)\mathcal{O}_x}, 1 \boxtimes \mathcal{F}_x)$. C'est un faisceau caractère cuspidal sur $\mathbf{M}_x$. Nous posons $K_x^{\mathbf{H}} = \mathrm{ind}_{\mathbf{M}_x}^{\mathbf{H}}(A_x)$. La *restriction de A_x à la variété unipotente de $\mathbf{M}_x$ (et donc celle de $K_x^{\mathbf{H}}$ à la variété unipotente de $\mathbf{H}$) n'est pas identiquement nulle.*

La fonction de Green généralisée $Q^{\mathbf{H}}_{\mathbf{M}_x,\mathcal{O}_x,\mathcal{F}_x,\varphi_x}$ sur la variété unipotente de $\mathbf{H}$ est définie par (*cf.* [5, (8.3.1)]) :

$$Q^{\mathbf{H}}_{\mathbf{M}_x,\mathcal{O}_x,\mathcal{F}_x,\varphi_x}(v) := \chi_{K^{\mathbf{H}}_x,\varphi}(v), \qquad \text{pour tout élément unipotent } v \text{ de } \mathbf{H}. \tag{7}$$

On a la formule du caractère suivante ([5, Theorem 8.5]) :

$$\chi_{K,\varphi_x}(\sigma v) = |H|^{-1}\,|L|^{-1} \sum_{\substack{x\in G\\ x^{-1}\sigma x\in\Sigma_{\mathrm{ss}}}} |M_x|\, Q^{\mathbf{H}}_{\mathbf{M}_x,\mathcal{O}_x,\mathcal{F}_x,\varphi_x}(v). \tag{8}$$

Remarque 2.2. L'équation (5), suivie de (8) appliquée à $\chi_{K^{w_1w},\varphi^{w_1w}}$, puis de (4) appliquée à chacun des $\chi_{K^{\mathbf{H}}_x,\varphi_x}$ fournit une certaine expression de χ_{A_E,φ_A}. Pour obtenir une formule réellement explicite il faudrait être en mesure de calculer les divers isomorphismes $\varphi_?$ et de décrire plus précisément

$$\{x\in G \,:\, x^{-1}\sigma x\in\Sigma_{\mathrm{ss}}\}.$$

Ce dernier point est traité par Shoji en [9, Lemma 4.5], sous l'hypothèse (vérifiée dans les groupes simples adjoints de type B, C ou D) que deux éléments semi-simples isolés dans un groupe $\mathbf{G}$ donné[1] et possédant des centralisateurs isomorphes sont conjugués dans $\mathbf{G}$: si nous fixons un élément $g_0=\sigma_0v_0$ de Σ, la condition $x^{-1}\sigma x\in\Sigma_{\mathrm{ss}}$ est alors équivalente à la condition que $\mathbf{M}_x$ soit un sous-groupe de Lévi de $\mathbf{H}$ conjugué sous $\mathbf{G}$ à $\mathrm{Z}^\circ_{\mathbf{G}}(\sigma_0)$.

Soit $w\in W^{\mathbf{G}}_{\mathbf{L}}$. Nous noterons $k_{\mathbf{L},\Sigma,\mathcal{E}}(w)=k(w)$ la fonction trace du complexe tordu K^w. L'équation (8) appliquée à K^w donne :

$$k(w)(\sigma v) = |H|^{-1}\,|L^w|^{-1} \sum_{\substack{x\in G\\ x^{-1}\sigma x\in\Sigma^w_{\mathrm{ss}}}} |M^w_x|\, Q^{\mathbf{H}}_{\mathbf{M}^w_x,\mathcal{O}^w_x,\mathcal{F}^w_x,\varphi^w_x}(v), \tag{9}$$

où

$$\mathbf{M}^w_x = \mathrm{Z}_{\mathbf{H}}(x\mathbf{T}^w_1x^{-1}) = x\mathrm{Z}^\circ_{\mathbf{L}^w}(x^{-1}\sigma x)x^{-1}.$$

3. Notations

3.1. **Sous-groupes de Lévi dans H.** On garde toutes les notations du paragrphe précédent : $\mathbf{G}$ est un groupe réductif ; $\mathbf{L}$ est un sous-groupe de Lévi possédant une paire cuspidale $(\Sigma,\mathcal{E})$; Σ_{ss} est l'ensemble des parties semi-simples des éléments de Σ ; et $g=\sigma v$ est l'élément en lequel on veut calculer la valeur de χ_{A_E}. Considérons l'ensemble

$$\mathcal{M}=\{\mathbf{M}_x : x^{-1}\sigma x\in\Sigma_{\mathrm{ss}}\}, \quad \text{où} \qquad \mathbf{M}_x=\mathrm{Z}_{\mathbf{H}}(x\mathbf{T}_1x^{-1}) = x\mathrm{Z}^\circ_{\mathbf{L}}(x^{-1}\sigma x)x^{-1}. \tag{10}$$

(On n'exige pas que $x\in G$ ici). Ainsi que nous l'avons déjà remarqué, tout $\mathbf{M}_x$ est un sous-groupe de Lévi du groupe réductif $\mathbf{H}$. Rappelons que les sous-groupes de Lévi d'un groupe réductif à conjugaison près sont paramétrés par les orbites du groupe de Weyl sur l'ensemble des sous-graphes du graphe de Dynkin. En particulier, il y a, à conjugaison près, un nombre fini de sous-groupes de Lévi. Par conséquent, $\mathcal{M}$ est partitionné en un nombre fini de classes d'équivalence

$$\mathcal{M}=\mathcal{M}_1\sqcup\cdots\sqcup\mathcal{M}_r, \tag{11}$$

où $\mathbf{M}_x$ et $\mathbf{M}_y$ sont dits équivalents s'ils sont conjugués sous $\mathbf{H}$. (Nous verrons à la Section 6 que si $\mathbf{G}$ est quasi-simple, alors $r\le 2$, et en fait $r=1$ dans la plupart des cas).

[1] Un élément semi-simple σ de $\mathbf{G}$ est dit *isolé* si $\mathbf{H}$ a même rang semi-simple que $\mathbf{G}$.

Remarque 3.1. Il est à noter que tous les membres de $\mathcal{M}$ sont conjugués sous $\mathbf{G}$, et donc isomorphes. En effet, il est clair que chaque $\mathbf{M}_x$ est conjugué sous $\mathbf{G}$ au centralisateur dans $\mathbf{L}$ d'un élément de Σ_{ss}. Mais il s'ensuit de la définition de Σ que tous les éléments de Σ_{ss} sont conjugués à multiplication par un élément central près, et donc leurs centralisateurs sont conjugués dans $\mathbf{L}$.

Pour tout $j \in \{1, \dots, r\}$, nous fixons un élément $g_{a_j} \in \mathbf{G}$ tel que $\mathbf{M}_{g_{a_j}} \in \mathcal{M}_j$. Posons

$$\mathbf{T}_j^{\mathbf{H}} := g_{a_j} \mathbf{T}_1 g_{a_j}^{-1} \qquad \text{et} \qquad \mathbf{M}_j := \mathbf{M}_{g_{a_j}} = \mathrm{Z}_{\mathbf{H}}(\mathbf{T}_j^{\mathbf{H}}). \tag{12}$$

Ensuite, soit a_j l'élément de $W_{\mathbf{L}}^{\mathbf{G}}$ tel que $F(a_j)$ soit l'image de $g_{a_j}^{-1} F(g_{a_j})$ dans $W_{\mathbf{L}}^{\mathbf{G}}$. Le groupe $\mathbf{M}_j$ est un sous-groupe de Lévi de $\mathbf{H}$. Nous posons

$$W_{\mathbf{M}_j}^{\mathbf{H}} := \mathrm{N}_{\mathbf{H}}(\mathbf{M}_j)/\mathbf{M}_j. \tag{13}$$

Exemple 3.2. Supposons qu'il existe un élément x_1 de G tel que $x_1^{-1} \sigma x_1 \in \Sigma_{\mathrm{ss}}^w$. Pour l'un des g_{a_j}, on peut prendre $g_{a_j} = x_1 g_{\dot{w}}$. On aura alors $\mathbf{T}_j^{\mathbf{H}} = x_1 \mathbf{T}_1^w x_1^{-1}$ et $\mathbf{M}_j = x_1 \mathrm{Z}_{\mathbf{L}^w}^{\circ}(x_1^{-1} \sigma x_1) x_1^{-1} \subset \mathbf{H}$. Dans ce cas $a_j = w$.

On remarque aussi que $\mathrm{N}_{\mathbf{H}}(\mathbf{T}_j^{\mathbf{H}}) = \mathrm{N}_{\mathbf{H}}(\mathbf{M}_j)$ et $\mathrm{N}_{\mathbf{G}}(\mathbf{T}_1) = \mathrm{N}_{\mathbf{G}}(\mathbf{L})$.
De l'application

$$\tilde{\iota}_j \colon \mathrm{N}_{\mathbf{H}}(\mathbf{M}_j) \to \mathrm{N}_{\mathbf{G}}(\mathbf{L}), \quad h \mapsto g_{a_j}^{-1} h g_{a_j} \tag{14}$$

se déduit un plongement

$$\iota_j \colon W_{\mathbf{M}_j}^{\mathbf{H}} \hookrightarrow W_{\mathbf{L}}^{\mathbf{G}}. \tag{15}$$

Bien que le morphisme de Frobenius agisse et sur $W_{\mathbf{L}}^{\mathbf{G}}$ et sur tous les $W_{\mathbf{M}_j}^{\mathbf{H}}$, il est à noter que le plongement ι_j n'est en général pas équivariant pour ces deux actions. Nous gardons la notation $F \colon W_{\mathbf{L}}^{\mathbf{G}} \to W_{\mathbf{L}}^{\mathbf{G}}$ pour l'automorphisme de $W_{\mathbf{L}}^{\mathbf{G}}$ induit par le Frobenius, et note $\eta_j \colon W_{\mathbf{M}_j}^{\mathbf{H}} \to W_{\mathbf{M}_j}^{\mathbf{H}}$ l'automorphisme *inverse* à celui qui est induit par le Frobenius sur $W_{\mathbf{M}_j}^{\mathbf{H}}$. Il s'ensuit des définitions de $\tilde{\iota}_j$ et de a_j que

$$\begin{aligned} \tilde{\iota}_j(F(h)) &= g_{a_j}^{-1} F(h) g_{a_j} \\ &= g_{a_j}^{-1} F(g_{a_j}) F(g_{a_j}^{-1} h g_{a_j}) F(g_{a_j})^{-1} g_{a_j} = F(a_j) F(\tilde{\iota}_j(h)) F(a_j)^{-1} \end{aligned}$$

Remplaçons $F(h)$ par son image w dans $W_{\mathbf{M}_j}^{\mathbf{H}}$ et $\tilde{\iota}_j$ par ι_j. On obtient l'égalité $\iota_j(w) = F(a_j) F(\iota_j(\eta_j(w))) F(a_j)^{-1}$, ou, autrement dit,

$$a_j \iota_j(\eta_j(w)) = F^{-1}(\iota_j(w)) a_j. \tag{16}$$

Désormais, nous identifions $W_{\mathbf{M}_j}^{\mathbf{H}}$ avec son image par ι_j. Si $w \in W_{\mathbf{M}_j}^{\mathbf{H}}$, il n'y a donc aucune ambiguïté dans la notation $F(w)$: c'est l'image sous le morphisme de Frobenius de w en tant qu'élément de $W_{\mathbf{L}}^{\mathbf{G}}$.

3.2. **Actions de Frobenius et Doubles Classes dans $W_{\mathbf{L}}^{\mathbf{G}}$.** Il s'ensuit de (16) que $W_{\mathbf{M}_j}^{\mathbf{H}}$ agit sur $a_j W_{\mathbf{M}_j}^{\mathbf{H}}$ par F^{-1}-conjugaison ; *i.e.,* pour tout $w \in W_{\mathbf{M}_j}^{\mathbf{H}}$, on a $F^{-1}(w)(a_j W_{\mathbf{M}_j}^{\mathbf{H}}) w^{-1} = a_j W_{\mathbf{M}_j}^{\mathbf{H}}$. De plus, les orbites de cette action sont en bijection avec les classes de η_j-conjugaison dans $W_{\mathbf{M}_j}^{\mathbf{H}}$, via la bijection évidente $W_{\mathbf{M}_j}^{\mathbf{H}} \leftrightarrow a_j W_{\mathbf{M}_j}^{\mathbf{H}}$ donnée par $w \leftrightsquigarrow a_j w$. (Rappelons que deux éléments $u, v \in W_{\mathbf{M}_j}^{\mathbf{H}}$ sont dits *η_j-conjugués* s'il existe un $w \in W_{\mathbf{M}_j}^{\mathbf{H}}$ tel que $\eta_j(w) u w^{-1} = v$).

Cette situation est parallèle à celle de $W^{\mathbf{G}}_{\Sigma,\mathcal{E}}$ et $w_1W^{\mathbf{G}}_{\Sigma,\mathcal{E}}$. À savoir, $W^{\mathbf{G}}_{\Sigma,\mathcal{E}}$ agit sur $w_1W^{\mathbf{G}}_{\Sigma,\mathcal{E}}$ par F^{-1}-conjugaison, et les orbites de cette action sont en bijection avec les classes de γ_1-conjugaison dans $W^{\mathbf{G}}_{\Sigma,\mathcal{E}}$.

Nous notons $\sim_{\eta_j}$, $\sim_{\gamma_1}$, et $\sim_{F^{-1}}$ les relations de η_j-, γ_1-, et F^{-1}-conjugaison, respectivement. Si $w \in W^{\mathbf{G}}_{\Sigma,\mathcal{E}}$, son stabilisateur sous la γ_1-conjugaison sera noté $\mathrm{Z}_{\gamma_1}(w)$. Si $w \in W^{\mathbf{H}}_{\mathbf{M}_j}$ (resp. $w \in W^{\mathbf{G}}_{\mathbf{L}}$), alors $\mathrm{Z}_{\eta_j}(w)$ (resp. $\mathrm{Z}_{F^{-1}}(w)$) est défini de manière semblable.

Ensuite, nous notons $\widetilde{W}^{\mathbf{H}}_{\mathbf{M}_j}$ le produit semi-direct de $W^{\mathbf{H}}_{\mathbf{M}_j}$ par le groupe cyclique engendré par η_j. $\mathrm{Irr}(W^{\mathbf{H}}_{\mathbf{M}_j})_{\mathrm{ex}}$ désigne l'ensemble des représentations irréductibles qui admettent une action de $\widetilde{W}^{\mathbf{H}}_{\mathbf{M}_j}$. Pour tout $E' \in \mathrm{Irr}(W^{\mathbf{H}}_{\mathbf{M}_j})_{\mathrm{ex}}$, nous fixons une fois pour toutes une extension $\widetilde{E}'$ en représentation irréducible de $\widetilde{W}^{\mathbf{H}}_{\mathbf{M}_j}$.

Les calculs de la Section 4 entraîneront une comparaison de l'action de $W^{\mathbf{H}}_{\mathbf{M}_j}$ sur $a_jW^{\mathbf{H}}_{\mathbf{M}_j}$ et celle de $W^{\mathbf{G}}_{\Sigma,\mathcal{E}}$ sur $w_1W^{\mathbf{G}}_{\Sigma,\mathcal{E}}$. Nous posons

$$\mathcal{N}_j := W^{\mathbf{G}}_{\Sigma,\mathcal{E}} \backslash W^{\mathbf{G}}_{\mathbf{L}} / W^{\mathbf{H}}_{\mathbf{M}_j}.$$

Dans chaque double classe $\underline{\nu} \in \mathcal{N}_j$, choisissons, une fois pour toutes, un représentant $w_{\underline{\nu}}$. Nous posons

$$W(\underline{\nu}) = w_1W^{\mathbf{G}}_{\Sigma,\mathcal{E}} \cap F^{-1}(w_{\underline{\nu}})(a_jW^{\mathbf{H}}_{\mathbf{M}_j})w_{\underline{\nu}}^{-1}, \tag{17}$$

et nous définissons deux plongements comme suit :

$$\begin{aligned} \lambda\colon W(\underline{\nu}) &\to W^{\mathbf{H}}_{\mathbf{M}_j}, & \lambda(\underline{w}) &= \eta_j^{-1}(a_j^{-1}F^{-1}(w_{\underline{\nu}}^{-1})\underline{w}w_{\underline{\nu}}) \\ \kappa\colon W(\underline{\nu}) &\to W^{\mathbf{G}}_{\Sigma,\mathcal{E}}, & \kappa(\underline{w}) &= \gamma_1^{-1}(w_1^{-1}\underline{w}) \end{aligned}$$

Nous remarquons que si l'on remplace $w_{\underline{\nu}}$ par $w_{\underline{\nu}}v$, où $v \in W^{\mathbf{H}}_{\mathbf{M}_j}$, alors $W(\underline{\nu})$ ne change pas, car $a_jW^{\mathbf{H}}_{\mathbf{M}_j}$ est stable sous F^{-1}-conjugaison par v. D'autre part, si l'on remplace $w_{\underline{\nu}}$ par $yw_{\underline{\nu}}$, où $y \in W^{\mathbf{G}}_{\Sigma,\mathcal{E}}$, alors $W(\underline{\nu})$ est remplacé par son F^{-1}-conjugué $F^{-1}(y)W(\underline{\nu})y^{-1} \subset w_1W^{\mathbf{G}}_{\Sigma,\mathcal{E}}$.

Lemme 3.3. *Soit $t \in \underline{\nu}$, et posons $P(t) = \{(y,z) \in W^{\mathbf{G}}_{\Sigma,\mathcal{E}} \times W^{\mathbf{H}}_{\mathbf{M}_j} : yw_{\underline{\nu}}z = w_1^{-1}F^{-1}(t)a_j\}$. Alors $|P(t)| = |W(\underline{\nu})|$.*

Démonstration. Montrons le lemme d'abord dans le cas où $t = w_{\underline{\nu}}$. Si $yw_{\underline{\nu}}z = w_1^{-1}F^{-1}(w_{\underline{\nu}})a_j$, alors $w_1y = F^{-1}(w_{\underline{\nu}})a_jz^{-1}w_{\underline{\nu}}^{-1}$, et donc $w_1y \in W(\underline{\nu})$. L'application $\phi\colon P(w_{\underline{\nu}}) \to W(\underline{\nu})$ définie par $(y,z) \mapsto w_1y$ est injective puisque z est déterminé par y. D'autre part, cette application est aussi surjective : si $w \in W(\underline{\nu})$, alors posons $y = w_1^{-1}w \in W^{\mathbf{G}}_{\Sigma,\mathcal{E}}$ et $z = (a_j^{-1}F^{-1}(w_{\underline{\nu}}^{-1})ww_{\underline{\nu}})^{-1} \in W^{\mathbf{H}}_{\mathbf{M}_j}$. Il est clair que $yw_{\underline{\nu}}z = w_1^{-1}f^{-1}(w_{\underline{\nu}})a_j$, et donc $(y,z) \in P(w_{\underline{\nu}})$ et $\phi(y,z) = w$.

Ensuite, si $t \neq w_{\underline{\nu}}$, posons $W'(\underline{\nu}) = w_1W^{\mathbf{G}}_{\Sigma,\mathcal{E}} \cap F^{-1}(t)(a_jW^{\mathbf{H}}_{\mathbf{M}_j})t^{-1}$. D'une part, l'argument du paragraphe précédent montre que $|P(t)| = |W'(\underline{\nu})|$, et d'autre part, les remarques qui précèdent le lemme montrent que $|W(\underline{\nu})| = |W'(\underline{\nu})|$. □

Nous introduisons maintenant une famille d'accouplements, paramétrée par les $\mathcal{N}_j$, qui relient les ensembles $\mathrm{Irr}(W^{\mathbf{G}}_{\Sigma,\mathcal{E}})_{\mathrm{ex}}$ et $\mathrm{Irr}(W^{\mathbf{H}}_{\mathbf{M}_j})_{\mathrm{ex}}$. Soit $\underline{\nu} \in \mathcal{N}_j$. Si $E \in \mathrm{Irr}(W^{\mathbf{G}}_{\Sigma,\mathcal{E}})_{\mathrm{ex}}$ et $E' \in \mathrm{Irr}(W^{\mathbf{H}}_{\mathbf{M}_j})_{\mathrm{ex}}$, on pose

$$\langle E, E'\rangle_{\underline{\nu}} := \frac{1}{|W(\underline{\nu})|} \sum_{\underline{w} \in W(\underline{\nu})} \mathrm{Tr}(\gamma_1\kappa(\underline{w}), \tilde{E})\, \mathrm{Tr}(\eta_j\lambda(\underline{w}), \tilde{E}').$$

3.3. **Fonctions de Green.** Pour tout j et tout $w \in W^{\mathbf{H}}_{\mathbf{M}_j}$, nous choisissons un représentant $\dot{w} \in \mathrm{N}_{\mathbf{H}}(\mathbf{M}_j)$ ainsi qu'un élément $h_{\dot{w}} \in \mathbf{H}$ tel que $h_{\dot{w}}^{-1}F(h_{\dot{w}}) = F(\dot{w})$. Ensuite, posons

$$\mathbf{M}_j^w = h_{\dot{w}}\mathbf{M}_j h_{\dot{w}}^{-1}.$$

Les $\mathbf{M}_j^w$ sont tous F-stables. $\mathbf{M}_j^w$ et $\mathbf{M}_j^{w'}$ sont conjugués sous H si et seulement si w et w' sont η_j-conjugués dans $W^{\mathbf{H}}_{\mathbf{M}_j}$.

Révisons la construction de la fonction de Green généralisée $Q^{\mathbf{H}}_{\mathbf{M}_x,\mathcal{O}_x,\mathcal{F}_x,\varphi_x}$. Nous allons d'abord vérifier que sa définition ne dépend pas de x, mais seulement du groupe $\mathbf{M}_x$. (C'est-à-dire, si $\mathbf{M}_x = \mathbf{M}_y$, alors $Q^{\mathbf{H}}_{\mathbf{M}_x,\mathcal{O}_x,\mathcal{F}_x,\varphi_x} = Q^{\mathbf{H}}_{\mathbf{M}_y,\mathcal{O}_y,\mathcal{F}_y,\varphi_y}$). De plus, si $\mathbf{M}_x$ et $\mathbf{M}_y$ sont conjugués sous H, alors leurs fonctions de Green respectives sont égales.

Remarque 3.4. Nous supposons que les groupes $\mathbf{M}_x$ et $\mathbf{M}_y$ égaux et que, soit $\mathbf{H}$, soit $\mathbf{L}$, est égal à $\mathbf{G}$. L'égalité des groupes $\mathbf{M}_x$ et $\mathbf{M}_y$ est alors équivalente à celle de $x\mathbf{L}x^{-1}$ et de $y\mathbf{L}y^{-1}$ (en effet, si $\mathbf{H} = \mathbf{G}$, nous avons $\mathbf{M}_x = x\mathbf{L}x^{-1}$, et si $\mathbf{L} = \mathbf{G}$, nous avons $x\mathbf{L}x^{-1} = \mathbf{G}$, et, par conséquent, $\mathbf{M}_x = \mathbf{H}$). Il existe alors $n \in \mathrm{N}_{\mathbf{G}}(\mathbf{L})$ tel que $y = nx$ et l'orbite unipotente $\mathcal{O}_y$ s'écrit

$$\mathcal{O}_y = \left\{v'' \in \mathbf{G} \,:\, \sigma v'' \in nx\Sigma x^{-1}n^{-1}\right\} = \left\{v'' \in \mathbf{G} \,:\, \sigma(n^{-1}v''n) \in x\Sigma x^{-1}\right\},$$

puisque σ est central dans $\mathbf{G}$, autrement dit, $\mathcal{O}_y = n\mathcal{O}_x n^{-1}$.

Lemme 3.5. *Si $\mathbf{M}_x = \mathbf{M}_y$, alors $Q^{\mathbf{H}}_{\mathbf{M}_x,\mathcal{O}_x,\mathcal{F}_x,\varphi_x} = Q^{\mathbf{H}}_{\mathbf{M}_y,\mathcal{O}_y,\mathcal{F}_y,\varphi_y}$.*

Démonstration. Nous supposons les groupes $\mathbf{M}_x$ et $\mathbf{M}_y$ égaux.

• *Égalité de $\mathcal{O}_x$ et de $\mathcal{O}_y$.* Si $\mathbf{M}_x = \mathbf{M}_y = \mathbf{G}$, on a en particulier $\mathbf{H} = \mathbf{G}$, et donc il résulte de la remarque 3.4 que $\mathcal{O}_x = \mathcal{O}_y$.

Nous supposons dorénavant $\mathbf{M}_x = \mathbf{M}_y \neq \mathbf{G}$. Lorsque $\mathbf{G}$ est un groupe de type exceptionnel, la Table 1 montre que les seuls cas à considérer sont les suivants :

(1) $\mathbf{G} = \mathrm{E}_7^{\mathrm{ad}}$ ou $\mathbf{G} = \mathrm{E}_8$ et $\mathbf{M}_x = x\mathbf{L}x^{-1} = \mathrm{E}_6$ ($p = 3$) : d'après [5, Proposition 20.3.(a)] la classe unipotente régulière de $\mathbf{M}_x$ est la seule à porter un système local cuspidal,

(2) $\mathbf{G} = \mathrm{E}_8$, $\mathbf{M}_x = x\mathbf{L}x^{-1} = \mathrm{E}_7$ ($p = 2$) : d'après [5, Proposition 20.3.(c)] la classe unipotente régulière de $\mathbf{M}_x$ est la seule à porter un système local cuspidal,

(3) $\mathbf{G} = \mathbf{L} = \mathrm{E}_8$, $\mathbf{M}_x = \mathrm{E}_7 \times \mathrm{A}_1$ ($p \neq 2$) : il n'y a pas de système local cuspidal à support unipotent dans E_7 lorsque $p \neq 2$, donc ce cas ne se produit pas,

(4) $\mathbf{G} = \mathbf{L} = \mathrm{E}_8$, $\mathbf{M}_x = \mathrm{E}_6 \times \mathrm{A}_2$ ($p \neq 2$) :
   (a) si $p \neq 3$, d'après [5, Proposition 20.3] la classe unipotente $\mathrm{E}_6(a_3)$ est la seule à porter des système locaux cuspidaux,
   (b) si $p = 3$, la classe unipotente régulière de E_6 est la seule à porter des système locaux cuspidaux.

Dans chacun des cas énumérés ci-dessus, il y a donc au plus une classe unipotente portant des système locaux cuspidaux, donc nécessairement $\mathcal{O}_x = \mathcal{O}_y$.

• *Isomorphie de $\mathcal{F}_x$ et de $\mathcal{F}_y$.* Dans chacun des cas (1), (2) et (4), la remarque 3.4 s'applique et montre qu'il existe $n \in \mathrm{N}_{\mathbf{G}}(\mathbf{L})$ tel que $y = nx$. D'après [5, (8.3.2)], pour définir la fonction de Green généralisée $Q^{\mathbf{H}}_{\mathbf{M}_x,\mathcal{O}_x,\mathcal{F}_x,\varphi_x}$, nous aurions pu remplacer $\mathcal{E}$ par un système local $\mathcal{E}_1$ défini comme l'image réciproque sous l'application naturelle $\mathbf{L} \to \mathbf{L}/\mathbf{L}_{\mathrm{der}} \times \mathbf{L}/\mathbf{T}_1$, de $\bar{\mathbb{Q}}_\ell \boxtimes \mathcal{E}'$, où $\mathcal{E}'$ est un système local irréductible $\mathbf{L}$-équivariant

sur $\mathcal{O}$. Nous savons, d'après [4, Theorem 9.2], que le groupe $W^{\mathbf{G}}_{\Sigma,\mathcal{E}_1}$ est isomorphe à $\mathrm{N}_{\mathbf{G}}(\mathbf{L})/\mathbf{L}$. L'élément n vérifie donc $(\mathrm{ad}(n))^*\mathcal{E}_1 \simeq \mathcal{E}_1$. Nous avons vu que $\mathcal{O}_x = \mathcal{O}_y$. Il s'ensuit que $\mathcal{F}_x \simeq \mathcal{F}_y$.

• *Indépendance de la structure mixte.* L'argument qui suit est inspiré de celui utilisé par Shoji dans la preuve de [11, Lemme 4.5]. Nous notons encore φ_0 l'isomorphisme $\varphi_0 \colon F^*\mathcal{E}_1 \xrightarrow{\sim} \mathcal{E}_1$ induit par $\varphi' \colon F^*\mathcal{E}' \xrightarrow{\sim} \mathcal{E}'$. Par définition de l'isomorphisme $\varphi_x \colon F^*\mathcal{F}_x \xrightarrow{\sim} \mathcal{F}_x$, on a

$$\mathrm{Tr}(\varphi_x, (\mathcal{F}_x)_{v'}) = \mathrm{Tr}(\varphi_0, (\mathcal{E}_1)_{x^{-1}\sigma v' x}), \quad \text{pour tout } v' \in \mathcal{O}_x^F.$$

Notons $\bar{n}$ l'image de n par la projection $\mathbf{L} \to \mathbf{L}/\mathbf{T}_1$. L'action par conjugaison de $\bar{n}$ sur $\mathbf{L}/\mathbf{T}_1$ induit un isomorphisme $(\mathrm{ad}\bar{n})^*\mathcal{E}' \xrightarrow{\sim} \mathcal{E}'$ compatible avec l'isomorphisme $\varphi' \colon F^*\mathcal{E}' \xrightarrow{\sim} \mathcal{E}'$. Il en résulte que $\mathrm{Tr}(\varphi', \mathcal{E}'_{p(x^{-1}\sigma v' x)}) = \mathrm{Tr}(\varphi', \mathcal{E}'_{p(y^{-1}\sigma v' y)})$, où p est la projection naturelle de Σ sur $\Sigma/\mathbf{T}_1$. L'égalité de $\mathrm{Tr}(\varphi_x, (\mathcal{F}_x)_{v'})$ et de $\mathrm{Tr}(\varphi_y, (\mathcal{F}_y)_{v'})$ s'ensuit. La structure mixte ne dépend donc que de $\mathbf{M}_x$. □

Pour tout $w \in W^{\mathbf{H}}_{\mathbf{M}_j}$, posons

$$Q_w := \text{la fonction de Green associée à } \mathbf{M}_j^w. \tag{18}$$

D'après le paragraphe précédent, Q_w est bien défini, et

$$Q_w = Q_{w'} \qquad \text{si } w \text{ et } w' \text{ sont } \eta_j\text{-conjugués.}$$

Enfin, pour tout $E' \in \mathrm{Irr}(W^{\mathbf{H}}_{\mathbf{M}_j})_{\mathrm{ex}}$, on pose

$$Q_{E'}(v) := \frac{1}{|W^{\mathbf{H}}_{\mathbf{M}_j}|} \sum_{w' \in W^{\mathbf{H}}_{\mathbf{M}_j}} \mathrm{Tr}(\eta_j w', \tilde{E}') Q_{w'}(v).$$

Il s'ensuit que

$$Q_{w'}(v) = \sum_{E' \in \mathrm{Irr}(W^{\mathbf{H}}_{\mathbf{M}_j})_{\mathrm{ex}}} \mathrm{Tr}(\eta_j w', \tilde{E}') Q_{E'}(v).$$

4. La Formule du Caractère

Dans cette section, nous établissons le résultat principal en trois étapes. La première étape (le Lemme 4.1) consiste à modifier la formule (9) de manière qu'il n'y reste aucune mention d'éléments de G. Dans la seconde étape (le Lemme 4.2), on fait intervenir les ensembles de doubles classes $\mathcal{N}_j$ dans la formule. Cela permet enfin d'écrire au Théorème 4.3 la formule cherchée pour χ_{A_E}.

Lemme 4.1 (*cf.* [7, Proposition 2.16])**.** *Pour tout $w \in W^{\mathbf{G}}_{\Sigma,\mathcal{E}}$, on a*

$$k(w_1 w)(\sigma v) = \sum_{j=1}^{r} \frac{|\mathrm{Z}_{F^{-1}}(w_1 w)|}{|W^{\mathbf{H}}_{\mathbf{M}_j}|} \sum_{\substack{w' \in W^{\mathbf{H}}_{\mathbf{M}_j} \\ a_j w' \sim_{F^{-1}} w_1 w}} Q_{w'}$$

Démonstration. D'après (9), on a

$$k(w_1 w)(\sigma v) = |H|^{-1} |L^{w_1 w}|^{-1} \sum_{\substack{x \in G \\ x^{-1}\sigma x \in \Sigma_{\mathrm{ss}}^{w_1 w}}} |M_x^{w_1 w}| Q^{\mathbf{H}}_{\mathbf{M}_x^{w_1 w}, \mathcal{O}_x^{w_1 w}, \mathcal{F}_x^{w_1 w}, \varphi_x^{w_1 w}}(v). \tag{19}$$

Soit $x \in G$ tel que $x^{-1}\sigma x \in \Sigma_{\mathrm{ss}}^{w_1 w}$. Il s'ensuit que $g_{(\dot{w_1 w})}^{-1} x^{-1}\sigma x g_{(\dot{w_1 w})} \in \Sigma_{\mathrm{ss}}$. Évidemment, on a

$$\mathbf{M}_x^{w_1 w} = \mathrm{Z}_{\mathbf{H}}(x\mathbf{T}_{w_1 w}x^{-1}) = \mathrm{Z}_{\mathbf{H}}(xg_{(\dot{w_1 w})}\mathbf{T}_1 g_{(\dot{w_1 w})}^{-1}x^{-1}).$$

En particulier, $\mathbf{M}_x^{w_1 w}$ appartient à l'ensemble $\mathcal{M}$, et donc à un certain $\mathcal{M}_j$, où $j = j(w,x) \in \{1,\dots,r\}$. Ensuite, $\mathbf{M}_x^{w_1 w}$, étant F-stable, est conjugué sous H à un $\mathbf{M}_j^{w'}$, où $w' \in W_{\mathbf{M}_j}^{\mathbf{H}}$ est unique à η_j-conjugaison près. Cette classe de η_j-conjugaison sera notée $C(w,x)$. Pour tout $w' \in C(w,x)$, on a

$$Q_{w'} = Q_{\mathbf{M}_x^{w_1 w},\mathcal{O}_x^{w_1 w},\mathcal{F}_x^{w_1 w},\varphi_x^{w_1 w}}^{\mathbf{H}}.$$

De plus, si $w' \in C(w,x)$, le fait que

$$\mathrm{Z}^\circ(\mathbf{M}_j^{w'}) = g_{\dot{w}'}g_{a_j}\mathbf{T}_1 g_{a_j}^{-1}g_{\dot{w}'}^{-1} \qquad \text{et} \qquad \mathrm{Z}^\circ(\mathbf{M}_x^{w_1 w}) = xg_{(\dot{w_1 w})}\mathbf{T}_1 g_{(\dot{w_1 w})}^{-1}x^{-1}$$

sont conjugués sous G implique que les images dans $W_{\mathbf{L}}^{\mathbf{G}}$ des deux éléments suivants sont F^{-1}-conjuguées :

$$g_{a_j}^{-1}g_{\dot{w}'}^{-1}F(g_{\dot{w}'}g_{a_j}) = g_{a_j}^{-1}F(\dot{w}')g_{a_j}g_{a_j}^{-1}F(g_{a_j}) = \tilde{\imath}(F(\dot{w}'))g_{a_j}^{-1}F(g_{a_j}),$$
$$g_{(\dot{w_1 w})}^{-1}x^{-1}F(xg_{(\dot{w_1 w})}) = F((\dot{w_1 w})).$$

Leurs images dans $W_{\mathbf{L}}^{\mathbf{G}}$ sont $\eta_j^{-1}(w')F(a_j)$ et $F(w_1 w)$, respectivement. De la définition de η_j se déduit la formule $\eta_j^{-1}(w') = F(a_j w' a_j^{-1})$. On sait donc que $F(a_j w') \sim_{F^{-1}} F(w_1 w)$. Il est clair que F respecte les classes F^{-1}-conjugaison, et la condition précédente équivaut à ce que

$$a_j w' \sim_{F^{-1}} w_1 w.$$

Pour chaque classe de η_j-conjugaison $C \subset W_{\mathbf{M}_j}^{\mathbf{H}}$, posons

$$Y(C) = \{x \in G : x^{-1}\sigma x \in \Sigma_{\mathrm{ss}}^{w_1 w},\ j(w,x) = j \text{ et } C(w,x) = C\}.$$

L'ensemble $Y(C)$ est vide sauf si un (et donc tout) membre de $a_j C$ est F^{-1}-conjugué à $w_1 w$. Choisissons un représentant w'_C de chaque classe. Le cardinal $|M_j^{w'_C}|$ et la fonction de Green $Q_{w'_C}$ sont tous deux indépendants du choix de w'_C. La formule (19) devient donc :

$$k(w_1 w)(\sigma v) = |H|^{-1}|L^{w_1 w}|^{-1}\sum_{j=1}^{r}\sum_{\substack{C \subset W_{\mathbf{M}_j}^{\mathbf{H}} \\ a_j w'_C \sim_{F^{-1}} w_1 w}}\sum_{x \in Y(C)} |M^{a_j w'_C}|Q_{w'_C}(v).$$

L'élément x ne joue plus aucun rôle dans la formule ; on peut remplacer la deuxième somme ci-dessus par le cardinal de $Y(C)$. Ensuite, on peut remplacer la somme sur certaines classes de η_j-conjugaison par une somme sur certains éléments $w' \in W_{\mathbf{M}_j}^{\mathbf{H}}$, pourvu qu'on divise aussi chaque terme par le cardinal de la classe correspondante. Ce cardinal est égal à $|W_{\mathbf{M}_j}^{\mathbf{H}}|/|\mathrm{Z}_{\eta_j}(w')|$, et l'on obtient donc

$$k(w_1 w)(\sigma v) = |H|^{-1}|L^{w_1 w}|^{-1}\sum_{j=1}^{r}\sum_{\substack{w' \in W_{\mathbf{M}_j}^{\mathbf{H}} \\ a_j w' \sim_{F^{-1}} w_1 w}} \frac{|Y(w')||M^{a_j w'_C}||\mathrm{Z}_{\eta_j}(w')|}{|W_{\mathbf{M}_j}^{\mathbf{H}}|}Q_{w'}(v).$$

Ici, $Y(w')$ désigne l'ensemble $Y(C)$, où C est la classe de η_j-conjugaison de w'. Enfin, l'argument de [7, p. 510] montre que

$$|Y(w')| = \frac{|H||L^{w_1 w}||\mathrm{Z}_{F^{-1}}(w_1 w)|}{|M^{a_j w'_C}||\mathrm{Z}_{\eta_j}(w')|}.$$

La formule cherchée s'ensuit. □

Lemme 4.2 (*cf.* [12, Lemme 7.1])**.** *Pour tout $w \in W^{\mathbf{G}}_{\Sigma,\mathcal{E}}$, on a*

$$k(w_1 w)(\sigma v) = \sum_{j=1}^{r} |\mathrm{Z}_{\eta_j}(w)| \sum_{\underline{\nu} \in \mathcal{N}_j} \frac{1}{|W(\underline{\nu})|} \sum_{\substack{\underline{w} \in W(\underline{\nu}) \\ \kappa(\underline{w}) \sim_{\gamma_1} w}} Q_{\lambda(\underline{w})}.$$

Démonstration. Il est clair que pour tout w' figurant dans la somme du Lemme 4.1, le cardinal de l'ensemble des $t \in W^{\mathbf{G}}_{\mathbf{L}}$ tels que $F^{-1}(t) a_j w' t^{-1} = w_1 w$ égale celui de $\mathrm{Z}_{F^{-1}}(w_1 w)$. Donc

$$k(w_1 w)(\sigma v) = \sum_{j=1}^{r} \frac{1}{|W^{\mathbf{H}}_{\mathbf{M}_j}|} \sum_{\substack{w' \in W^{\mathbf{H}}_{\mathbf{M}_j} \\ a_j w' \sim_{F^{-1}} w_1 w}} \sum_{\substack{t \in W^{\mathbf{G}}_{\mathbf{L}} \\ F(t) a_j w' t^{-1} = w_1 w}} Q_{w'}$$

Pour tout t, soit $\underline{\nu}(t)$ la double classe $W^{\mathbf{G}}_{\Sigma,\mathcal{E}} t W^{\mathbf{H}}_{\mathbf{M}_j}$. D'après le Lemme 3.3, on a

$$\begin{aligned} & k(w_1 w)(\sigma v) \\ &= \sum_{j=1}^{r} \frac{1}{|W^{\mathbf{H}}_{\mathbf{M}_j}|} \sum_{\substack{w' \in W^{\mathbf{H}}_{\mathbf{M}_j} \\ a_j w' \sim_{F^{-1}} w_1 w}} \sum_{\substack{t \in W^{\mathbf{G}}_{\mathbf{L}} \\ F^{-1}(t) a_j w' t^{-1} = w_1 w}} \frac{1}{|W(\underline{\nu}(t))|} \sum_{\substack{y \in W^{\mathbf{G}}_{\Sigma,\mathcal{E}},\ z \in W^{\mathbf{H}}_{\mathbf{M}_j} \\ y w_{\underline{\nu}} z = w_1^{-1} F^{-1}(t) a_j}} Q_{w'} \\ &= \sum_{j=1}^{r} \frac{1}{|W^{\mathbf{H}}_{\mathbf{M}_j}|} \sum_{\underline{\nu} \in \mathcal{N}_j} \frac{1}{|W(\underline{\nu})|} \sum_{\substack{w' \in W^{\mathbf{H}}_{\mathbf{M}_j},\ t \in W^{\mathbf{G}}_{\mathbf{L}} \\ \underline{\nu}(t) = \underline{\nu} \\ F^{-1}(t) a_j w' t^{-1} = w_1 w}} \sum_{\substack{y \in W^{\mathbf{G}}_{\Sigma,\mathcal{E}},\ z \in W^{\mathbf{H}}_{\mathbf{M}_j} \\ y w_{\underline{\nu}} z = w_1^{-1} F^{-1}(t) a_j}} Q_{w'}. \end{aligned}$$

La condition $y w_{\underline{\nu}} z = w^{-1} F^{-1}(t) a_j$ implique que $t^{-1} = F(a_j^{-1} w_{\underline{\nu}}^{-1} y^{-1} w_1^{-1})$, et la condition $F^{-1}(t) a_j w' t^{-1} = w_1 w$ équivaut à ce que $y w_{\underline{\nu}} z w' F(a_j z^{-1} w_{\underline{\nu}}^{-1} y^{-1} w_1^{-1}) = w$. La formule ci-dessus devient donc :

$$k(w_1 w)(\sigma v) = \sum_{j=1}^{r} \frac{1}{|W^{\mathbf{H}}_{\mathbf{M}_j}|} \sum_{\underline{\nu} \in \mathcal{N}_j} \frac{1}{|W(\underline{\nu})|} \sum_{\substack{w' \in W^{\mathbf{H}}_{\mathbf{M}_j},\ y \in W^{\mathbf{G}}_{\Sigma,\mathcal{E}},\ z \in W^{\mathbf{H}}_{\mathbf{M}_j} \\ y w_{\underline{\nu}} z w' F(a_j z^{-1} w_{\underline{\nu}}^{-1} y^{-1} w_1^{-1}) = w}} Q_{w'}. \tag{20}$$

La condition dans la troisième somme peut également s'écrire sous de nombreuses formes équivalentes, dont :

$$\begin{aligned} y w_{\underline{\nu}} z w' F(a_j z^{-1} w_{\underline{\nu}}^{-1} y^{-1} w_1^{-1}) &= w \\ w_{\underline{\nu}} z w' F(a_j z^{-1} w_{\underline{\nu}}^{-1}) &= y^{-1} w F(w_1 y) \\ F^{-1}(w_{\underline{\nu}}) F^{-1}(z w') a_j z^{-1} w_{\underline{\nu}}^{-1} &= F^{-1}(y^{-1} w) w_1 y \\ F^{-1}(w_{\underline{\nu}}) a_j \eta_j(z w') z^{-1} w_{\underline{\nu}}^{-1} &= w_1 \gamma_1(y^{-1} w) y \\ F^{-1}(w_{\underline{\nu}}) a_j \eta_j(z w' \eta_j^{-1}(z^{-1})) w_{\underline{\nu}}^{-1} &= w_1 \gamma_1(y^{-1} w \gamma_1^{-1}(y)) \end{aligned}$$

La dernière de ces possibilités équivaut à l'énoncé suivant :

Il existe un $\underline{w} \in W(\underline{\nu})$ tel que $\kappa(\underline{w}) = y^{-1}w\gamma_1^{-1}(y)$ et $\lambda(\underline{w}) = zw'\eta_j^{-1}(z^{-1})$.

On peut maintenant écrire la formule comme suit :

$$k(w_1w)(\sigma v) = \sum_{j=1}^{r} \frac{1}{|W^{\mathbf{H}}_{\mathbf{M}_j}|} \sum_{\underline{\nu}\in\mathcal{N}_j} \frac{1}{|W(\underline{\nu})|} \sum_{\substack{w'\in W^{\mathbf{H}}_{\mathbf{M}_j},\ \underline{w}\in W(\underline{\nu}),\ y\in W^{\mathbf{G}}_{\Sigma,\mathcal{E}},\ z\in W^{\mathbf{H}}_{\mathbf{M}_j} \\ \kappa(\underline{w})=y^{-1}w\gamma_1^{-1}(y),\ \lambda(\underline{w})=zw'\eta_j^{-1}(z^{-1})}} Q_{w'}.$$

Il est clair qu'on peut remplacer l'égalité $\kappa(\underline{w}) = y^{-1}w\gamma_1^{-1}(y)$ par la condition $\kappa(\underline{w}) \sim_{\gamma_1} w$, pourvu qu'on introduise en même temps la multiplicité $|\mathrm{Z}_{\gamma_1}(w)|$, et de même pour la condition sur w' :

$$k(w_1w)(\sigma v) = \sum_{j=1}^{r} \frac{1}{|W^{\mathbf{H}}_{\mathbf{M}_j}|} \sum_{\underline{\nu}\in\mathcal{N}_j} \frac{1}{|W(\underline{\nu})|} \sum_{\substack{w'\in W^{\mathbf{H}}_{\mathbf{M}_j},\ \underline{w}\in W(\underline{\nu}) \\ \kappa(\underline{w})\sim_{\gamma_1} w,\ \lambda(\underline{w})\sim_{\eta_j} w'}} |\mathrm{Z}_{\gamma_1}(w)||\mathrm{Z}_{\eta_j}(w')|Q_{w'}.$$

Ensuite, puisque $Q_{w'}$ ne dépend que la classe de η_j-conjugaison de w', on peut le remplacer par $Q_{\lambda(\underline{w})}$. On peut également remplacer $|\mathrm{Z}_{\eta_j}(w')|$ par $|\mathrm{Z}_{\eta_j}(\lambda(\underline{w}))|$, et on obtient ainsi une formule dans laquelle w' ne joue plus de grand rôle :

$$k(w_1w)(\sigma v) = \sum_{j=1}^{r} \frac{|\mathrm{Z}_{\gamma_1}(w)|}{|W^{\mathbf{H}}_{\mathbf{M}_j}|} \sum_{\underline{\nu}\in\mathcal{N}_j} \frac{1}{|W(\underline{\nu})|} \sum_{\substack{\underline{w}\in W(\underline{\nu}) \\ \kappa(\underline{w})\sim_{\gamma_1} w}} \sum_{\substack{w'\in W^{\mathbf{H}}_{\mathbf{M}_j} \\ \lambda(\underline{w})\sim_{\eta_j} w'}} |\mathrm{Z}_{\eta_j}(\lambda(\underline{w}))|Q_{\lambda(\underline{w})}.$$

Le nombre de $w' \in W^{\mathbf{H}}_{\mathbf{M}_j}$ tel que $\lambda(\underline{w}) \sim_{\eta_j} w'$ est simplement le cardinal de la classe de η_j-conjugaison de $\lambda(\underline{w})$, soit $|W^{\mathbf{H}}_{\mathbf{M}_j}|/|\mathrm{Z}_{\eta_j}(\lambda(\underline{w}))|$. On a donc

$$\begin{aligned} k(w_1w)(\sigma v) &= \sum_{j=1}^{r} \frac{|\mathrm{Z}_{\gamma_1}(w)|}{|W^{\mathbf{H}}_{\mathbf{M}_j}|} \sum_{\underline{\nu}\in\mathcal{N}_j} \frac{1}{|W(\underline{\nu})|} \sum_{\substack{\underline{w}\in W(\underline{\nu}) \\ \kappa(\underline{w})\sim_{\gamma_1} w}} \frac{|W^{\mathbf{H}}_{\mathbf{M}_j}|}{|\mathrm{Z}_{\eta_j}(\lambda(\underline{w}))|}|\mathrm{Z}_{\eta_j}(\lambda(\underline{w}))|Q_{\lambda(\underline{w})} \\ &= \sum_{j=1}^{r} |\mathrm{Z}_{\gamma_1}(w)| \sum_{\underline{\nu}\in\mathcal{N}_j} \frac{1}{|W(\underline{\nu})|} \sum_{\substack{\underline{w}\in W(\underline{\nu}) \\ \kappa(\underline{w})\sim_{\gamma_1} w}} Q_{\lambda(\underline{w})}, \end{aligned}$$

ce qui est la formule cherchée. □

Enfin, nous pouvons combiner les deux lemmes précédents avec les développements de la Section 2.

Théorème 4.3. *Pour tout $E \in \mathrm{Irr}(W^{\mathbf{G}}_{\Sigma,\mathcal{E}})_{\mathrm{ex}}$ et tout $g = \sigma v \in G$, on a*

$$\chi_{A_E}(\sigma v) = \sum_{j=1}^{r} \sum_{\underline{\nu}\in\mathcal{N}_j} \sum_{E'\in\mathrm{Irr}(W^{\mathbf{H}}_{\mathbf{M}_j})_{\mathrm{ex}}} \langle E, E'\rangle_{\underline{\nu}} Q_{E'}(v).$$

Démonstration. D'après (5), on a

$$\begin{aligned}\chi_{A_E}(\sigma v) &= \frac{1}{|W^{\mathbf{G}}_{\Sigma,\mathcal{E}}|}\sum_{w\in W^{\mathbf{G}}_{\Sigma,\mathcal{E}}} \mathrm{Tr}(\gamma_1 w,\tilde{E})\chi_{K^{w_1 w},\varphi^{w_1 w}}\\ &= \frac{1}{|W^{\mathbf{G}}_{\Sigma,\mathcal{E}}|}\sum_{w\in W^{\mathbf{G}}_{\Sigma,\mathcal{E}}} \mathrm{Tr}(\gamma_1 w,\tilde{E})|\mathrm{Z}_{\gamma_1}(w)|\sum_{j=1}^{r}\sum_{\underline{\nu}\in\mathcal{N}_j}\frac{1}{|W(\underline{\nu})|}\sum_{\substack{\underline{w}\in W(\underline{\nu})\\ \kappa(\underline{w})\sim_{\gamma_1} w}} Q_{\lambda(\underline{w})}\\ &= \sum_{j=1}^{r}\sum_{\underline{\nu}\in\mathcal{N}_j}\frac{1}{|W(\underline{\nu})|}\sum_{\underline{w}\in W(\underline{\nu})}\left(\sum_{\substack{w\in W^{\mathbf{G}}_{\Sigma,\mathcal{E}}\\ \kappa(\underline{w})\sim_{\gamma_1} w}}\frac{|\mathrm{Z}_{\gamma_1}(\kappa(\underline{w}))|}{|W^{\mathbf{G}}_{\Sigma,\mathcal{E}}|}\right)\mathrm{Tr}(\gamma_1\kappa(\underline{w}),\tilde{E})Q_{\lambda(\underline{w})}.\end{aligned}$$

Ici, on a utilisé deux conséquences du fait que $\kappa(\underline{w})$ et w sont γ_1-conjugués : d'une part, $|\mathrm{Z}_{\gamma_1}(w)| = |\mathrm{Z}_{\gamma_1}(\kappa(\underline{w}))|$, et d'autre part, on en déduit que les éléments $\gamma_1\kappa(\underline{w})$ et $\gamma_1 w$ de $\widetilde{W}^{\mathbf{G}}_{\Sigma,\mathcal{E}}$ sont conjugués, et donc que $\mathrm{Tr}(\gamma_1 w,\tilde{E}) = \mathrm{Tr}(\gamma_1\kappa(\underline{w}),\tilde{E})$.

Ensuite, on peut simplement enlever l'expression entre parenthèses ci-dessus : le nombre de $w \in W^{\mathbf{G}}_{\Sigma,\mathcal{E}}$ qui sont γ_1-conjugués à $\kappa(\underline{w})$ n'est autre que le cardinal de la classe de γ_1-conjugaison de $\kappa(\underline{w})$, soit $|W^{\mathbf{G}}_{\Sigma,\mathcal{E}}|/|\mathrm{Z}_{\gamma_1}(\kappa(\underline{w}))|$. La formule devient donc :

$$\begin{aligned}&\chi_{A_E}(\sigma v)\\ &= \sum_{j=1}^{r}\sum_{\underline{\nu}\in\mathcal{N}_j}\frac{1}{|W(\underline{\nu})|}\sum_{\underline{w}\in W(\underline{\nu})}\mathrm{Tr}(\gamma_1\kappa(\underline{w}),\tilde{E})Q_{\lambda(\underline{w})}(v)\\ &= \sum_{j=1}^{r}\sum_{\underline{\nu}\in\mathcal{N}_j}\frac{1}{|W(\underline{\nu})|}\sum_{\underline{w}\in W(\underline{\nu})}\mathrm{Tr}(\gamma_1\kappa(\underline{w}),\tilde{E})\sum_{E'\in\mathrm{Irr}(W^{\mathbf{H}}_{\mathbf{M}_j})_{\mathrm{ex}}}\mathrm{Tr}(\gamma'\lambda(\underline{w})),\tilde{E}')Q_{E'}(v)\\ &= \sum_{j=1}^{r}\sum_{\underline{\nu}\in\mathcal{N}_j}\sum_{E'\in\mathrm{Irr}(W^{\mathbf{H}}_{\mathbf{M}})_{\mathrm{ex}}}\langle E,E'\rangle_{\underline{\nu}}Q_{E'}(v).\end{aligned}$$

□

5. Classification des Sous-groupes de Lévi admettant un Faisceau Caractère Cuspidal

Supposons $\mathbf{G}$ semi-simple et quasi-simple. Nous déterminons dans cette section la liste des sous-groupes de Lévi de $\mathbf{G}$ (à conjugaison près) qui admettent un faisceau caractère cuspidal. Il n'y a rien d'original ici : Lusztig a donné très explicitement en [5] la liste des groupes quasi-simples qui admettent un faisceau caractère cuspidal, et il a également indiqué en *loc. cit.* un procédé pour déterminer si un groupe réductif donné en admet un ou non. Nous ne faisons qu'effectuer ce procédé.

Rappelons les étapes de ce procédé maintenant. Soit $\mathbf{K}$ un groupe réductif, et soit χ un caractère du groupe des composantes de son centre $\mathrm{Z}(\mathbf{K})/\mathrm{Z}^\circ(\mathbf{K})$. Soit $\hat{\mathbf{K}}^0_\chi$ l'ensemble des faisceaux caractères cuspidaux sur $\mathbf{K}$, à isomorphisme près, sur lesquels $\mathrm{Z}(\mathbf{K})/\mathrm{Z}^\circ(\mathbf{K})$ agit par χ.

- Si $\mathbf{K}$ est semi-simple et quasi-simple, Lusztig a déterminé explicitement pour chaque χ si $\hat{\mathbf{K}}^0_\chi$ est vide ou non vide.

– Si $\mathbf{K}$ est produit direct des groupes semi-simples et quasi-simples, $\mathbf{K} = \mathbf{K}_1 \times \cdots \times \mathbf{K}_n$, alors $\hat{\mathbf{K}}^0_\chi$ est non vide si et seulement si $(\hat{\mathbf{K}}_i)^0_{\chi|\mathbf{K}_i}$ est non vide pour tout i.
– Si $\mathbf{K}$ est un quotient central d'un produit direct $\tilde{\mathbf{K}}$ des groupes semi-simples et quasi-simples, soit $\pi\colon \tilde{\mathbf{K}} \to \mathbf{K}$ l'application quotient. Alors $\hat{\mathbf{K}}^0_\chi$ est non vide si et seulement si $\hat{\tilde{\mathbf{K}}}^0_{\chi\circ\pi}$ l'est.
– Si $\mathbf{K}$ est non semi-simple, alors $\hat{\mathbf{K}}^0_\chi$ est non vide si et seulement si $(\widehat{\mathbf{K}/\mathrm{Z}^\circ(\mathbf{K})})^0_\chi$ l'est.

(En fait, il est également possible d'obtenir un paramétrage explicite de $\hat{\mathbf{K}}^0_\chi$ au moyen de ce procédé, mais nous n'en aurons pas besoin dans la suite.)

Les observations suivantes nous seront utiles :

Lemme 5.1. *Tout sous-groupe de Lévi d'un groupe algébrique quasi-simple possède au plus un facteur quasi-simple de type différent de A.*

Démonstration. Le graphe de Dynkin d'un groupe quasi-simple et non de type A doit contenir soit une arête de multiplicité 2 ou 3, soit un nœud de valence 3. Chaque graphe de Dynkin simple contient au plus une telle arête ou un tel nœud. □

Corollaire 5.2. *Si* $\mathbf{G}$ *est quasi-simple et à centre connexe, alors tout sous-groupe de Lévi* $\mathbf{L}$ *admettant un faisceau caractère cuspidal est quasi-simple et non de type* A.

Les résultats de la classification sont résumés dans la Table 1. Pour chaque sous-groupe de Lévi $\mathbf{L}$ qui possède une paire cuspidale $(\Sigma, \mathcal{E})$, nous indiquons dans la troisième colonne le type du groupe $\mathbf{M} = \mathrm{Z}^\circ_{\mathbf{L}}(\sigma)$, où $\sigma \in \Sigma_{\mathrm{ss}}$. Lorsque $\mathbf{L}$ possède plusieurs paires cuspidales, il y a plusieurs possibilités pour $\mathbf{M}$. $\triangle$ désigne l'ensemble des nombres triangulaires, et $\square$ désigne l'ensemble des nombres carrés.

Les cas où la caractéristique est 2 et $\mathbf{L} = \mathbf{G}$ est de type F_4 ou E_8 ne sont pas traités dans la table. Ce sont les seuls cas pour lesquels l'hypothèse de netteté ("clean" au sens de Lusztig) n'est pas encore connue (voir [8]).

5.1. **Quotients du groupe linéaire spécial.** Le centre de SL_{n+1} est cyclique de cardinal $(n+1)_{p'}$, où $(n+1)_{p'}$ est le plus grand diviseur de $n+1$ que p ne divise pas. Soit d un entier qui divise $(n+1)_{p'}$, et notons μ_d le sous-groupe cyclique central de cardinal d. Tout groupe semi-simple et quasi-simple de type A_n est isomorphe à SL_{n+1}/μ_d pour un certain d. Ensuite, tout sous-groupe de Lévi de SL_{n+1} est de la forme

$$S(\mathrm{GL}_{n_1} \times \cdots \times \mathrm{GL}_{n_j}) \qquad \text{où } n_1 + \cdots + n_j = n,$$

et où $S(\cdot)$ signifie le sous-groupe des éléments à déterminant 1. Son centre a $\mathrm{pgcd}(n_1, \ldots, n_j)_{p'}$ composantes, et son image dans SL_{n+1}/μ_d a $\mathrm{pgcd}(n_1, \ldots, n_j, (n+1)_{p'}/d)$ composantes.

Un groupe de type A_n admet un faisceau caractère cuspidal si et seulement si son centre admet un caractère d'ordre $n+1$. Pour que l'image de $S(\mathrm{GL}_{n_1} \times \cdots \times \mathrm{GL}_{n_j})$ dans SL_{n+1}/μ_d admette un faisceau caractère cuspidal, alors, il faut et il suffit que n_i divise $\mathrm{pgcd}(n_1, \ldots, n_j, (n+1)_{p'}/d)$ pour tout i. Mais cela implique que

$$n_1 = \cdots = n_j = \mathrm{pgcd}(n_1, \ldots, n_j, (n+1)_{p'}/d).$$

Posons $r = n_1 - 1 = \cdots = n_j - 1$. Alors on voit que $r+1$ divise $(n+1)_{p'}/d$, et que $j = (n+1)/(r+1)$. On conclut qu'un sous-groupe de Lévi admet un faisceau

G	**L**	**M**
$\mathrm{SL}_{n+1}/\mu_d,\ d \mid (n+1)_{p'}$	$(\mathrm{A}_r)^{(n+1)/(r+1)},\ (r+1)d \mid (n+1)_{p'},$	$(\mathrm{A}_r)^{(n+1)/(r+1)}$
Spin_{2n+1} $(p \neq 2)$	$\mathrm{B}_{r+s} \times (\mathrm{A}_1)^{(n-(r+s))/2},\ 2r+1, 2s \in \triangle$	$\mathrm{B}_r \times \mathrm{D}_s \times (\mathrm{A}_1)^{(n-(r+s))/2}$
SO_{2n+1}	$\mathrm{B}_{r+s},\ 2r+1, 2s \in \square$ $(p \neq 2)$	$\mathrm{B}_r \times \mathrm{D}_s$ $(p \neq 2)$,
	$\mathrm{B}_r,\ r \in 2\triangle$ $(p = 2)$	B_r
Sp_{2n} $(p \neq 2)$	$\mathrm{C}_{r+s},\ r+s \notin 2\mathbb{Z},\ r, s \in \triangle$	$\mathrm{C}_r \times \mathrm{C}_s$
PSp_{2n}	$\mathrm{C}_{r+s},\ r+s \in 2\mathbb{Z},\ r, s \in \triangle$ $(p \neq 2)$	$\mathrm{C}_r \times \mathrm{C}_s$
	$\mathrm{C}_r,\ r \in 2\triangle$ $(p = 2)$	C_r
Spin_{2n} $(p \neq 2)$	$\mathrm{D}_{r+s} \times (\mathrm{A}_1)^{(n-(r+s))/2},\ 2r, 2s \in \triangle$	$\mathrm{D}_r \times \mathrm{D}_s \times (\mathrm{A}_1)^k$
$\frac{1}{2}\mathrm{Spin}_{2n},\ n \in 2\mathbb{Z}$ $(p \neq 2)$	$\mathrm{D}_{r+s} \times (\mathrm{A}_1)^{(n-(r+s))/2},\ 2r, 2s \in \triangle$	$\mathrm{D}_r \times \mathrm{D}_s \times (\mathrm{A}_1)^{(n-(r+s))/2}$
SO_{2n} $(p \neq 2)$	$\mathrm{D}_{r+s},\ r+s \in 4\mathbb{Z}+2,\ 2r, 2s \in \square$	$\mathrm{D}_r \times \mathrm{D}_s$
PSO_{2n}	$\mathrm{D}_{r+s},\ r+s \in 4\mathbb{Z},\ 2r, 2s \in \square$ $(p \neq 2)$	$\mathrm{D}_r \times \mathrm{D}_s$
	$\mathrm{D}_r,\ r \in 4\square$ $(p = 2)$	D_r
$\mathrm{E}_6^{\mathrm{sc}}$ $(p \neq 3)$	$(\mathrm{A}_2)^2$	$(\mathrm{A}_2)^2$
	E_6	$\mathrm{A}_5 \times \mathrm{A}_1$ $(p \neq 2), \mathrm{E}_6$
$\mathrm{E}_6^{\mathrm{ad}}$	D_4	$(\mathrm{A}_1)^4$ $(p \neq 2), \mathrm{D}_4$ $(p = 2)$
	E_6	$(\mathrm{A}_2)^3$ $(p \neq 3), \mathrm{E}_6$ $(p = 3)$
$\mathrm{E}_7^{\mathrm{sc}}$ $(p \neq 2)$	$(\mathrm{A}_1)^3$ (voir l'explication dans le texte)	$(\mathrm{A}_1)^3$
	E_7	$\mathrm{A}_5 \times \mathrm{A}_2$ $(p \neq 3), \mathrm{E}_7$ $(p = 3)$
$\mathrm{E}_7^{\mathrm{ad}}$	D_4	$(\mathrm{A}_1)^4$ $(p \neq 2), \mathrm{D}_4$ $(p = 2)$
	E_6	$(\mathrm{A}_2)^3$ $(p \neq 3), \mathrm{E}_6$ $(p = 3)$
	E_7	$(\mathrm{A}_3)^2 \times \mathrm{A}_1$ $(p \neq 2), \mathrm{E}_7$ $(p = 2)$
E_8	D_4	$(\mathrm{A}_1)^4$ $(p \neq 2), \mathrm{D}_4$ $(p = 2)$
	E_6	$(\mathrm{A}_2)^3$ $(p \neq 3), \mathrm{E}_6$ $(p = 3)$
	E_7	$(\mathrm{A}_3)^2 \times \mathrm{A}_1$ $(p \neq 2), \mathrm{E}_7$ $(p = 2)$
	E_8 $(p \neq 2)$	$(\mathrm{A}_4)^2, \mathrm{A}_5 \times \mathrm{A}_2 \times \mathrm{A}_1, \mathrm{D}_5 \times \mathrm{A}_3, \mathrm{D}_8, \mathrm{E}_6 \times \mathrm{A}_2, \mathrm{E}_7 \times \mathrm{A}_1, \mathrm{E}_8$
F_4	B_2	$(\mathrm{A}_1)^2$ $(p \neq 2), \mathrm{B}_2$ $(p = 2)$
	F_4 $(p \neq 2)$	$\mathrm{C}_3 \times \mathrm{A}_1, \mathrm{A}_2 \times \mathrm{A}_2, \mathrm{A}_3 \times \mathrm{A}_1, \mathrm{B}_4, \mathrm{F}_4$
G_2	G_2	$\mathrm{A}_1 \times \tilde{\mathrm{A}}_1, \mathrm{A}_2, \mathrm{G}_2$

TAB. 1. Sous-groupes de Lévi admettant un faisceau caractère cuspidal

caractère cuspidal si et seulement s'il est de type

$$\underbrace{\mathrm{A}_r \times \cdots \mathrm{A}_r}_{(n+1)/(r+1)\text{ facteurs}}, \qquad \text{où } (r+1) \mid (n+1)_{p'}/d.$$

5.2. **Les groupes classiques.** En caractéristique 2, tout groupe classique est isomorphe au groupe adjoint du même type. Ces groupes-là seront considérés dans la prochaine section ; pour le moment, supposons que $p \neq 2$.

Considérons d'abord les groupes spéciaux orthogonaux impairs SO_{2n+1}. Il est bien connu que tout sous-groupe de Lévi $\mathbf{L}$ de SO_{2n+1} est de la forme $\mathrm{SO}_{2k+1} \times \mathrm{GL}_{n_1} \times \cdots \times \mathrm{GL}_{n_j}$, où $(2k+1) + 2n_1 + \cdots + 2n_j = 2n+1$. Mais GL_{n_i} n'admet pas de faisceau caractère cuspidal sauf si $n_i = 1$, et donc pour que $\mathbf{L}$ en admette un, il doit être de la forme $\mathrm{SO}_{2k+1} \times \mathbf{S}$, où $\mathbf{S}$ est un tore. En particulier, on a $\mathbf{L}/\mathrm{Z}^\circ(\mathbf{L}) \simeq \mathrm{SO}_{2k+1}$, et Lusztig a décrit en [5, §23.2(c)] des conditions nécessaires sur k pour que SO_{2k+1} admette un faisceau caractère cuspidal.

Pour $\mathbf{G} = \mathrm{Sp}_{2n}$, le même argument permet de se ramener à [5, §23.2(b)] ; et pour $\mathbf{G} = \mathrm{SO}_{2n}$, à [5, §23.2(d)].

5.3. **Les groupes adjoints de type classique.** Selon le Corollaire 5.2, il suffit de considérer les sous-groupes de Lévi $\mathbf{L}$ qui sont quasi-simples et du même type que $\mathbf{G}$. Si $\mathbf{G} = \mathrm{PSp}_m$ (resp. $\mathbf{G} = \mathrm{PSO}_m$), alors il s'ensuit que $\mathbf{L}/\mathrm{Z}^\circ(\mathbf{L}) \simeq \mathrm{PSp}_k$ (resp. $\mathbf{L}/\mathrm{Z}^\circ(\mathbf{L}) \simeq \mathrm{PSO}_k$) pour un certain $k \leq m$ (rappelons que $\mathbf{L}$ est à centre connexe). Si $p \neq 2$, on se réfère à [5, §23.2(a),(c)] pour trouver les conditions necessaires sur k. Si $p = 2$, les résultats analogues se trouvent en [5, §22].

5.4. **Les groupes** Spin **et** $\frac{1}{2}$Spin**.** Considérons d'abord le groupe Spin_{2n+1}. Son centre est de cardinal 2, et donc *a priori* il est possible qu'un sous-groupe de Lévi contenant des facteurs de type A_1 puisse admettre un faisceau caractère cuspidal. Notons P son réseau des poids, et Q son réseau radiciel. On peut identifier Q avec $\mathbb{Z}^n$, et P avec le réseau engendré par Q et l'élément

$$\lambda = (\tfrac{1}{2}, \tfrac{1}{2}, \ldots, \tfrac{1}{2}).$$

Posons

$$e_i = (0, \ldots, 0, 1, 0, \ldots, 0) \qquad (1 \text{ dans la } i\text{-ème coordonnée}),$$

et prenons $\{e_1 - e_2, e_2 - e_3, \ldots, e_{n-1} - e_n, e_n\}$ comme l'ensemble des racines simples. Soit $\mathbf{L}$ un sous-groupe de type $\mathrm{B}_k \times (\mathrm{A}_1)^j$. On peut supposer que l'ensemble des racines simples de $\mathbf{L}$ est

$$\{e_1 - e_2\} \cup \{e_3 - e_4\} \cup \cdots \cup \{e_{2j-1} - e_{2j}\} \cup \\ \{e_{n-k+1} - e_{n-k+2}, e_{n-k+2} - e_{n-k+3}, \ldots, e_{n-1} - e_n, e_n\},$$

où $n - k + 1 > 2j$. Le groupe $\mathrm{Z}(\mathbf{L})/\mathrm{Z}^\circ(\mathbf{L})$ possède un caractère non trivial si et seulement si un multiple de λ appartient au réseau radiciel de $\mathbf{L}$. Il est donc clair que $\mathrm{Z}(\mathbf{L})$ est non connexe si et seulement si $2j = n - k$. Ensuite, si $2j = n - k$, alors $\mathbf{L}$ admet un faisceau caractère cuspidal si et seulement si le groupe Spin_{2k+1} en admet un. Pour ce dernier, Lusztig a donné les conditions sur k en [5, §23.2(e)].

Les arguments pour les groupes Spin_{2n} et $\frac{1}{2}\mathrm{Spin}_{2n}$ sont semblables. Pour ceux-ci, on peut identifier le réseau radiciel Q avec l'ensemble $\{(m_1, \ldots, m_n) \in \mathbb{Z}^n : \sum m_i \in 2\mathbb{Z}\}$. Le réseau des poids P de Spin_{2n} est engendré par Q et les deux éléments

$$\lambda = (\tfrac{1}{2}, \tfrac{1}{2}, \ldots, \tfrac{1}{2}) \qquad \text{et} \qquad \mu = (0, \ldots, 0, 1).$$

G	**L**
E_6	$\mathrm{D}_4, \mathrm{D}_5, \mathrm{E}_6$
E_7	$\mathrm{D}_4, \mathrm{D}_5, \mathrm{D}_6, \mathrm{E}_6, \mathrm{E}_7$
E_8	$\mathrm{D}_4, \mathrm{D}_5, \mathrm{D}_6, \mathrm{D}_7, \mathrm{E}_6, \mathrm{E}_7, \mathrm{E}_8$
F_4	$\mathrm{B}_2, \mathrm{B}_3, \mathrm{C}_3, \mathrm{F}_4$
G_2	G_2

TAB. 2. Sous-groupes de Lévi quasi-simples et non de type A dans les groupes exceptionnels

Le réseau des poids de $\frac{1}{2}\mathrm{Spin}_{2n}$ est engendré par Q et λ seul. L'ensemble des racines simples est $\{e_1-e_2, e_2-e_3, \ldots, e_{n-1}-e_n, e_{n-1}+e_n\}$. Considérons d'abord un sous-groupe de Lévi $\mathbf{L}$ de type $\mathrm{D}_k \times (\mathrm{A}_1)^j$, dont les racines simples sont

$$\{e_1-e_2\} \cup \{e_3-e_4\} \cup \cdots \cup \{e_{2j-1}-e_{2j}\} \cup \\ \{e_{n-k+1}-e_{n-k+2}, e_{n-k+2}-e_{n-k+3}, \ldots, e_{n-1}-e_n, e_n\},$$

où $n-k+1 > 2j$. Le poids μ ne joue aucun rôle dans la question, car le caractère du centre de $\mathbf{G}$ correspondant est de restriction nulle aux facteurs de type A_1. Quant à λ, le même calcul qu'on a fait pour Spin_{2n+1} montre qu'il donne lieu à un caractère non trivial de $\mathrm{Z}(\mathbf{L})/\mathrm{Z}^\circ(\mathbf{L})$ si et seulement si $2j = n-k$. Si $\mathbf{G} = \mathrm{Spin}_{2n}$ (resp. $\frac{1}{2}\mathrm{Spin}_{2n}$), son sous-groupe de type $\mathrm{D}_k \times (\mathrm{A}_1)^{(n-k)/2}$ admet un faisceau caractère cuspidal si et seulement si Spin_{2k} (resp. $\frac{1}{2}\mathrm{Spin}_{2k}$) en admet un. Pour ce dernier, voir [5, §23.2(e),(f)].

Enfin, si n est impair, le centre de Spin_{2n} est cyclique de cardinal 4 ; en effet, P/Q est engendré par l'image de λ, et on a $2\lambda \equiv \mu \pmod{Q}$. On est donc obligé de considérer aussi les sous-groupes de Lévi $\mathbf{L}$ contenant des facteurs de type A_3. Pourtant, le calcul du paragraphe précédent montre que le caractère du centre correspondant à μ est toujours de restriction nulle aux facteurs de type A. Par conséquent, bien que le caractère correspondant à λ soit d'ordre 4, sa restriction aux facteurs de type A n'est que d'ordre 2. Un tel $\mathbf{L}$ n'admet donc pas de faisceau caractère cuspidal.

5.5. **Les groupes adjoints de type exceptionnel.** D'après le Corollaire 5.2, il suffit de considérer les sous-groupes de Lévi quasi-simples et non de type A. Tous les tels groupes sont indiqués dans la Table 2.

Parmi ceux-ci, les groupes adjoints de type B_3, C_3, D_5, D_6, D_7 n'admettent pas de faisceaux caractères cuspidaux [5, §22,§23.2(a),(c)]. Tous les autres en admettent au moins un. Les groupes de type B_2 et D_4 en caractéristique 2 sont traités en [5, §22], et en caractéristique impaire dans la Proposition 23.2(c) de *loc. cit.*. Pour la liste des $\mathbf{M}$ possibles dans E_6, E_7, E_8, F_4, G_2, respectivement, voir les Propositions 20.3(a), 20.3(c), 21.2, 21.3, 20.6 de [5].

5.6. **Le groupe simplement connexe de type** E_6**.** Si $p = 3$, $\mathrm{E}_6^{\mathrm{sc}}$ est isomorphe à $\mathrm{E}_6^{\mathrm{ad}}$. Supposons donc que $p \neq 3$. Puisque le centre de $\mathrm{E}_6^{\mathrm{sc}}$ est de cardinal 3, on sait que pour tout sous-groupe de Lévi $\mathbf{L}$, le cardinal de $\mathrm{Z}(\mathbf{L})/\mathrm{Z}^\circ(\mathbf{L})$ égale soit 1, soit 3. Parmi les sous-groupes figurant dans la Table 2, ceux de type D_4 et D_5 sont à centre connexe (parce qu'un groupe quasi-simple de type D ne peut pas avoir un

centre à 3 composantes) et donc ont déjà été traité. Pour $\mathrm{E}_6^{\mathrm{sc}}$ lui-même, voir [5, Proposition 20.3].

Nous devons maintenant considérer les sous-groupes de Lévi non quasi-simples contenant un facteur de type A_2. Il y en a deux, de types A_2 et $\mathrm{A}_2 \times \mathrm{A}_2$. Un calcul semblable à ceux que l'on a fait pour les groupes Spin montre que le sous-groupe de Lévi de type A_2 est à centre connexe. (Il suffit de vérifier, d'après les descriptions en [3] des réseaux de poids et des réseaux radiciels, qu'il n'existe pas de poids qui n'est pas dans le réseau radiciel de A_2 mais dont un multiple y est). Par contre, le centre de $\mathrm{A}_2 \times \mathrm{A}_2$ est à 3 composantes, et donc ce groupe-ci admet un faisceau caractère cuspidal.

5.7. **Le groupe simplement connexe de type** E_7**.** Si $p = 2$, $\mathrm{E}_7^{\mathrm{sc}}$ est isomorphe à $\mathrm{E}_7^{\mathrm{ad}}$. Supposons donc que $p \neq 2$. Le centre de $\mathrm{E}_7^{\mathrm{sc}}$ est alors de cardinal 2. Il n'est pas donc aussi facile qu'en $\mathrm{E}_6^{\mathrm{sc}}$ de conclure que les divers sous-groupes propres de Lévi figurant dans la Table 2 sont à centre connexe. Il faut plutôt vérifier ce fait dans chaque cas par un calcul dans le réseau des poids, en utilisant les données de [3].

Des calculs semblables montrent que le seul sous-groupe de Lévi (à conjugaison près) contenant des facteurs de type A_1 et possédant une paire cuspidale est celui de type $\mathrm{A}_1 \times \mathrm{A}_1 \times \mathrm{A}_1$ qui correspond au graphe suivant :

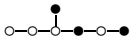

($\mathrm{E}_7^{\mathrm{sc}}$ possède plusieurs sous-groupes de Lévi non conjugués de type $\mathrm{A}_1 \times \mathrm{A}_1 \times \mathrm{A}_1$. Les autres sous-groupes de ce type n'ont pas de faisceaux caractères cuspidaux).

6. Classes de Conjugaison de Sous-groupes de Lévi dans le Centralisateur d'un Élément semi-simple

On garde les notations de la section précédente : $\mathbf{G}$ est un groupe réductif, $\mathbf{L} = \mathrm{Z}_{\mathbf{G}}(\mathbf{T}_1)$ est un sous-groupe de Lévi qui possède une paire cuspidale $(\Sigma, \mathcal{E})$, et $\mathcal{M} = \mathrm{Z}_{\mathbf{L}}^{\circ}(\sigma)$, où $\sigma \in \Sigma_{\mathrm{ss}}$. Rappelons la définition de l'ensemble $\mathcal{M}$ qu'on a introduit à la Section 3 :

$$\mathcal{M} = \{\mathbf{M}_x : x \in \mathbf{G},\ x^{-1}\sigma x \in \Sigma_{\mathrm{ss}}\} \qquad \text{où} \qquad \mathbf{M}_x = \mathrm{Z}_{\mathbf{H}}^{\circ}(x\mathbf{T}_1 x^{-1}).$$

À ce moment-là, nous avons remarqué que $\mathcal{M}$ se répartit en un nombre fini de classes de conjugaison sous $\mathbf{H}$.

Remarque 6.1. À la Section 3, la notation σ désignait un élément de $\mathbf{G}$ conjugué à un élément de Σ_{ss}. Ici, on l'a supposé dans Σ_{ss}. Il est clair qu'aucune perte de généralité n'en résulte.

Cette section est consacrée à la preuve du théorème suivant :

Théorème 6.2. *Si* $\mathbf{G}$ *est semi-simple, quasi-simple, et différent de* PSp_{2n}, PSO_{2n}, $\frac{1}{2}\mathrm{Spin}_{2n}$ *et* $\mathrm{E}_7^{\mathrm{sc}}$*, alors tous les membres de* $\mathcal{M}$ *sont conjugués sous* $\mathbf{H}$*. Si* $\mathbf{G}$ *est l'un de ces quatres groupes, alors* $\mathcal{M}$ *se répartit en une ou deux classes de conjugaison sous* $\mathbf{H}$*.*

Il est à rappeler (voir la Remarque 3.1) que tous les membres de $\mathcal{M}$ sont conjugués sous $\mathbf{G}$ et donc isomorphes.

Remarque 6.3. Soit $x \in \mathbf{G}$ est tel que $x^{-1}\sigma x \in \Sigma_{\mathrm{ss}}$, et posons $\sigma' = x^{-1}\sigma x$. On sait, d'après la Remarque 3.1, que σ et σ' sont conjugués (dans $\mathbf{L}$) à multiplication par un élément de $\mathbf{T}_1$ près. Il y a donc un $f \in \mathbf{L}$ et un $z \in \mathbf{T}_1$ tel que $f^{-1}\sigma' f = z\sigma$, ou autrement dit, $(xf)^{-1}\sigma(xf) = z\sigma$. Puisque f centralise $\mathbf{T}_1$, il est clair $xf\mathbf{T}_1(xf)^{-1} = x\mathbf{T}_1x^{-1}$, et donc que $\mathbf{M}_{xf} = \mathbf{M}_x$. On ne s'intéresse qu'à la classe de conjugaison de ce dernier groupe, et donc on peut supposer, sans perte de généralité, que $x^{-1}\sigma x = z\sigma$, avec $z \in \mathbf{T}_1$.

6.1. **Les cas triviaux.** Si $\mathbf{L} = \mathbf{G}$, alors on a $\mathbf{H} = \mathbf{M} = \mathbf{M}_x$ pour tout x, et il n'y a rien à démontrer. En particulier, le théorème est donc vrai dans les cas suivants :

$\mathbf{G} = \mathbf{L}$	$\mathbf{M}$
E_6	$\mathrm{A}_5 \times \mathrm{A}_1, (\mathrm{A}_2)^3, \mathrm{E}_6$
E_7	$\mathrm{A}_5 \times \mathrm{A}_2, (\mathrm{A}_3)^2 \times \mathrm{A}_1, \mathrm{E}_7$
E_8	$(\mathrm{A}_4)^2, \mathrm{A}_5 \times \mathrm{A}_2 \times \mathrm{A}_1, \mathrm{D}_5 \times \mathrm{A}_3, \mathrm{D}_8, \mathrm{E}_6 \times \mathrm{A}_2, \mathrm{E}_7 \times \mathrm{A}_1, \mathrm{E}_8$
F_4	$\mathrm{C}_3 \times \mathrm{A}_1, \mathrm{A}_2 \times \mathrm{A}_2, \mathrm{A}_3 \times \mathrm{A}_1, \mathrm{B}_4, \mathrm{F}_4$
G_2	$\mathrm{A}_1 \times \mathrm{A}_1, \mathrm{A}_2, \mathrm{G}_2$

6.2. **Graphes de Dynkin.** Soient $\Delta_{\mathbf{G}}$, $\Delta_{\mathbf{L}}$, $\Delta_{\mathbf{H}}$, $\Delta_{\mathbf{M}}$ et $\Delta_{\mathbf{M}_x}$ les graphes de Dynkin des groupes correspondants, et soient $\tilde{\Delta}_{\mathbf{G}}$ et $\tilde{\Delta}_{\mathbf{L}}$ les graphes de Dynkin complétés de $\mathbf{G}$ et de $\mathbf{L}$. Rappelons que le graphe de Dynkin d'un sous-groupe de Lévi (resp. du centralisateur d'un élément semi-simple) peut être identifié à un sous-graphe, unique à conjugaison sous le groupe de Weyl près, du graphe de Dynkin (resp. graphe de Dynkin complété) du groupe de départ. On a donc les inclusions suivantes :

$$\Delta_{\mathbf{L}} \subset \Delta_{\mathbf{G}} \qquad \text{et} \qquad \Delta_{\mathbf{M}_x} \subset \Delta_{\mathbf{H}} \subset \tilde{\Delta}_{\mathbf{G}},$$

On sait déjà que $\Delta_{\mathbf{M}} \simeq \Delta_{\mathbf{M}_x}$ pour tout x. Pour montrer que tous les $\mathbf{M}_x$ sont conjugués dans $\mathbf{H}$, il suffit de montrer que les sous-graphes $\Delta_{\mathbf{M}_x}$ de $\Delta_{\mathbf{H}}$ sont conjugués par le groupe de Weyl de $\mathbf{H}$. En particulier, si tous les sous-graphes de $\Delta_{\mathbf{H}}$ isomorphes à $\Delta_{\mathbf{M}}$ soient conjugués, alors le théorème s'ensuit.

Il arrive parfois que $\tilde{\Delta}_{\mathbf{G}}$ (et donc $\Delta_{\mathbf{H}}$) ne contienne qu'un seul sous-graphe isomorphe à $\Delta_{\mathbf{M}}$. Dans ces cas-là, il n'y a rien à démontrer, et le résultat est immédiat.

6.3. **Les groupes de type** A **et les groupes exceptionnels.** Si $\mathbf{G}$ est de type A_n, alors tout centralisateur d'un élément semi-simple est en fait de Lévi, et on peut donc se restreindre à considérer le graphe de Dynkin non complété $\Delta_{\mathbf{G}}$. $\mathbf{M}$ est de type $(\mathrm{A}_{r-1})^{(n+1)/r}$. Si l'on note $\alpha_1, \ldots, \alpha_n$ les nœuds de $\Delta_{\mathbf{G}}$, il est clair que l'unique sous-graphe de type $(\mathrm{A}_{r-1})^{(n+1)/r}$ est celui qui contient les nœuds

$$\alpha_1, \ldots, \alpha_{r-1}; \alpha_{r+1}, \ldots, \alpha_{2r-1}; \ldots; \alpha_{(n+1)/r-r+1}, \ldots, \alpha_n.$$

Supposons maintenant que $(\mathbf{G}, \mathbf{L}, \mathbf{M})$ est l'un des triplets qui figurent dans la Table 3. Dans les cas où il n'y a aucune mention sous l'en-tête "remarque," le graphe $\tilde{\Delta}_{\mathbf{G}}$ ne contient qu'un seul sous-graphe isomorphe à $\Delta_{\mathbf{M}}$.

Dans les trois cas qui portent la mention $(*)$, $\tilde{\Delta}_{\mathbf{G}}$ contient d'autres sous-graphes isomorphes à $\Delta_{\mathbf{M}}$, et il faut donc faire un argument supplémentaire. Considérons le cas où $\mathbf{G}$ et de type E_7 et $\mathbf{M}$ de type $(\mathrm{A}_1)^4$. Le groupe ne peut pas être un sous-groupe de Lévi de $\mathbf{G}$: on sait que $\mathbf{M}$ admet un faisceau caractère cuspidal, mais selon la Table 1, $\mathbf{G}$ n'a pas de sous-groupe de Lévi isogène à $\mathbf{M}$ qui en admet

G	**L**	**M**	graphe	remarque
A_n	$(A_{r-1})^{(n+1)/r}$	$(A_{r-1})^{(n+1)/r}$		
E_6	D_4	$A_1 \times A_1 \times A_1 \times A_1$		
	D_4	D_4		
E_7	D_4	$A_1 \times A_1 \times A_1 \times A_1$	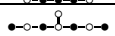	$(*)$
	D_4	D_4	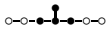	
	E_6	$A_2 \times A_2 \times A_2$	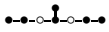	
	E_6	E_6		
E_8	D_4	$A_1 \times A_1 \times A_1 \times A_1$		$(*)$
	D_4	D_4	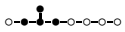	
	E_6	$A_2 \times A_2 \times A_2$	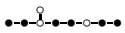	
	E_6	E_6	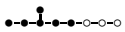	
	E_7	$A_3 \times A_3 \times A_1$	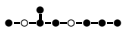	
	E_7	E_7	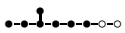	
F_4	B_2	$A_1 \times A_1$		$(*)$
	B_2	B_2		

TAB. 3. Groupes exceptionnels

un. Il est facile de faire la liste de tous les sous-graphes de $\tilde{\Delta}_{\mathbf{G}}$ de type $(A_1)^4$:

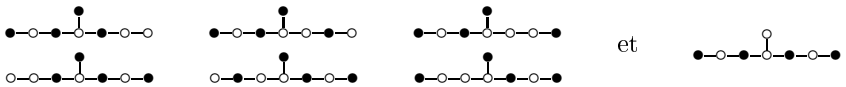

Les six premiers sous-graphes sont tous conjugués sous le groupe de Weyl de $\mathbf{G}$, et chacun des quatre premiers sous-graphes est contenu dans un sous-graphe de type E_7, et correspond donc à un sous-groupe de Lévi. Seul le dernier correspond à un sous-groupe qui n'est pas de Lévi ; celui-là doit être égal à $\Delta_{\mathbf{M}}$.

Un argument semblable permet de traiter les autres cas marqués $(*)$: dans chaque cas, on trouve d'après la Table 1 que $\mathbf{M}$ n'est pas un sous-groupe de Lévi de $\mathbf{G}$, et que $\tilde{\Delta}_{\mathbf{G}}$ n'a qu'un seul sous-graphe isomorphe à $\Delta_{\mathbf{M}}$ dont le sous-groupe correspondant n'est pas de Lévi. Ce sous-graphe-là est donc forcément égal et à $\Delta_{\mathbf{M}}$. En particulier, $\Delta_{\mathbf{M}}$ est seul dans sa classe de conjugaison sous le groupe de Weyl $\mathbf{G}$, et donc sous celui de $\mathbf{H}$.

Le théorème est maintenant démontré dans tous les cas figurant dans la Table 3.

6.4. **Les groupes classiques.** Supposons maintenant que $\mathbf{G}$ est l'un des groupes SO_{2n+1}, Sp_{2n}, ou SO_{2n}. Dans les groupes classiques, nous pouvons tirer profit du fait que tout sous-groupe de Lévi se décompose en produit direct de son sous-groupe dérivé et d'un tore. En particulier, on a

$$\mathbf{L} \simeq \mathbf{L}_{\mathrm{der}} \times \mathbf{T}_1.$$

De plus, $\mathbf{L}$ se plonge dans un sous-groupe réductif

$$\mathbf{L}_{\mathrm{der}} \times \mathbf{L}_1 \subset \mathbf{G}$$

où $\mathbf{L}_1$ est semi-simple, quasi-simple et du même type que $\mathbf{G}$, et où $\mathbf{T}_1$ est un tore maximal de $\mathbf{L}_1$. Le groupe $\mathbf{L}_1$ se décrit comme suit : si $\mathbf{G} = SO_N$ (resp. $\mathbf{G} = Sp_N$), alors il y a un entier positif $M \leq N$ tel que $\mathbf{L}_{\mathrm{der}} \simeq SO_M$ (resp. $\mathbf{L}_{\mathrm{der}} \simeq Sp_M$), et on

a que $\mathbf{L}_1 \simeq \mathrm{SO}_{N-M}$ (resp. $\mathbf{L}_1 \simeq \mathrm{Sp}_{N-M}$). Il est à noter que $\mathbf{L}_{\mathrm{der}} \times \mathbf{L}_1$ n'est pas en général de Lévi.

Si y est un élément d'un groupe classique, on note $E(y)$ l'ensemble (avec multiplicités) de ses valeurs propres. Si l'on décompose un élément $y \in \mathbf{L}_{\mathrm{der}} \times \mathbf{L}_1$ en un produit $y = d \times t$, où $d \in \mathbf{L}_{\mathrm{der}}$ et $t \in \mathbf{L}_1$, alors $E(y) = E(d) \cup E(t)$. Enfin, rappelons que dans tout groupe classique quasi-simple, deux éléments semi-simples sont conjugués si et seulement s'ils ont les mêmes valeurs propres avec les mêmes multiplicités.

Imposons l'hypothèse de la Remarque 6.3, et reprenons ses notations : $\sigma' = x^{-1}\sigma x = z\sigma$, où $z \in \mathbf{T}_1$. Écrivons σ comme un produit $d \cdot t$, où $d \in \mathbf{L}_{\mathrm{der}}$ et $t \in \mathbf{T}_1$, et de même pour $\sigma' = d' \cdot t'$. Puisque de telles décompositions sont uniques, l'égalité $\sigma' = z\sigma$ implique que

$$d' = d \qquad \text{et} \qquad t' = zt.$$

Puisque σ et σ' sont conjugués, on sait que $E(\sigma) = E(\sigma')$, et puis il s'ensuit que $E(t) = E(zt)$. Il existe donc un $k \in \mathrm{N}_{\mathbf{L}_1}(\mathbf{T}_1)$ tel que $ktk^{-1} = zt$. Puisque k commute avec $\mathbf{L}_{\mathrm{der}}$, on a maintenant

$$k\sigma k^{-1} = kdtk^{-1} = zdt = \sigma'.$$

Posons $h' = xk$; alors $h'\sigma h'^{-1} = \sigma$. D'autre part, on a que $h'\mathbf{T}_1 h'^{-1} = x\mathbf{T}_1 x^{-1}$ (car k normalise $\mathbf{T}_1$), et donc

$$h'\mathbf{M}h'^{-1} = \mathbf{M}_x. \tag{21}$$

L'élément h' appartient au groupe éventuellement non connexe $\mathrm{Z}_{\mathbf{G}}(\sigma)$. Il reste de démontrer qu'on peut remplacer h' par un élément de $\mathbf{H}$.

Considérons le groupe non connexe O_m. Il est clair que pour tout tore $\mathbf{S} \subset \mathrm{SO}_m$, il existe un élément dans la composante non neutre de O_m qui commute avec $\mathbf{S}$. Par conséquent, si $\mathbf{S}$ est un tore dans un produit quelconque des O_m, des Sp_m, et des GL_m, alors toute composante contient un élément commutant avec $\mathbf{S}$. Le groupe $\mathrm{Z}_{\mathbf{G}}(\sigma)$ est un sous-groupe d'un tel produit, et donc dans la composante de $\mathrm{Z}_{\mathbf{G}}(\sigma)$ contenant h', il existe un élément r qui centralise le tore $x^{-1}\mathbf{T}_1 x$. Cette dernière condition implique que r normalise $\mathbf{M}_x$. Ensuite, posons $h = r^{-1}h'$. Cet élément est forcément dans la composante neutre de $\mathrm{Z}_{\mathbf{G}}(\sigma)$, *i.e.,* dans $\mathbf{H}$. Il s'ensuit maintenant de (21) que $h\mathbf{M}h^{-1} = \mathbf{M}_x$. $\mathbf{M}$ et $\mathbf{M}_x$ sont donc conjugués sous $\mathbf{H}$.

Remarque 6.4. Au cours de cette preuve, l'hypothèse que $\mathbf{L}$ et $\mathbf{M}$ admettent des faisceaux caractères cuspidaux n'a joué aucun rôle. Cela nous aidera plus tard à traiter les groupes simplement connexes de type classique.

6.5. **Les groupes adjoints de type classique.** Supposons que $\mathbf{G}$ est l'un des groupes PSp_{2n} ou PSO_{2n}. La preuve pour ces groupes-ci consiste à se ramener au cas des groupes classiques. Posons $\tilde{\mathbf{G}} = \mathrm{Sp}_{2n}$ ou SO_{2n}, respectivement, et soit $\pi\colon \tilde{\mathbf{G}} \to \mathbf{G}$ l'application quotient naturelle. Soit $\tilde{\mathbf{T}}_1$ la composante neutre de $\pi^{-1}(\mathbf{T}_1)$, et posons $\tilde{\mathbf{L}} = \mathrm{Z}_{\tilde{\mathbf{G}}}(\tilde{\mathbf{T}}_1)$ et $\tilde{\Sigma}_{\mathrm{ss}} = \pi^{-1}(\Sigma_{\mathrm{ss}})$. Ensuite, choisissons un point $\dot{\sigma} \in \pi^{-1}(\sigma)$, ainsi qu'un $\dot{x} \in \pi^{-1}(x)$ pour tout $x \in \mathbf{G}$ tel que $x^{-1}\sigma x \in \Sigma_{\mathrm{ss}}$. On a donc $\dot{x}^{-1}\dot{\sigma}\dot{x} \in \tilde{\Sigma}_{\mathrm{ss}}$. Enfin, posons $\tilde{\mathbf{M}}_{\dot{x}} = \mathrm{Z}_{\tilde{\mathbf{H}}}(\dot{x}\tilde{\mathbf{T}}_1\dot{x}^{-1})$. L'ensemble $\tilde{\Sigma}_{\mathrm{ss}}$ est soit connexe, soit à deux composantes. Essayons d'abord de mieux le comprendre.

Soit $C \subset \mathbf{L}/\mathbf{T}_1$ la classe de conjugaison dont Σ_{ss} est l'image réciproque, et considérons l'application $q\colon \tilde{\mathbf{L}}/\tilde{\mathbf{T}}_1 \to \mathbf{L}/\mathbf{T}_1$. L'ensemble $\tilde{C} = q^{-1}(C)$ contient une ou deux classes de conjugaison et une ou deux composantes. D'une part, toute classe de conjugaison dans $\tilde{\mathbf{L}}/\tilde{\mathbf{T}}_1$ est connexe ; d'autre part, la réunion de deux classes de

conjugaison de même dimension est forcément non connexe. On conclut que chaque composante de $\tilde{C}$ est une classe de conjugaison. Ensuite, l'application $r\colon \tilde{\mathbf{L}} \to \tilde{\mathbf{L}}/\tilde{\mathbf{T}}_1$ étant à noyau connexe, on voit que l'opération d'image réciproque sous r préserve le nombre de composantes. Donc chaque composante de $\tilde{\Sigma}_{\mathrm{ss}} = r^{-1}(\tilde{C})$ est l'image réciproque d'une seule classe de conjugaison dans $\tilde{\mathbf{L}}/\tilde{\mathbf{T}}_1$.

Si $\tilde{\Sigma}_{\mathrm{ss}}$ est connexe, alors tous les $\tilde{\mathbf{M}}_{\dot{x}}$ sont conjugués sous $\tilde{\mathbf{H}}$ (car le théorème est déjà établi pour $\tilde{\mathbf{G}}$), et donc leurs images $\mathbf{M}_x$ sont conjugués sous $\mathbf{H}$.

En revanche, si $\tilde{\Sigma}_{\mathrm{ss}}$ est réunion de deux composantes, notons-les $\tilde{\Sigma}^+_{\mathrm{ss}}$ et $\tilde{\Sigma}^-_{\mathrm{ss}}$. Ensuite, definissons deux sous-ensemble $\mathcal{M}^+, \mathcal{M}^- \subset \mathcal{M}$ par

$$\mathcal{M}^{\pm} = \{\mathbf{M}_x : \dot{x}^{-1}\dot{\sigma}\dot{x} \in \tilde{\Sigma}^{\pm}_{\mathrm{ss}}\}.$$

Il est à noter que cette répartition de $\mathcal{M}$ en deux sous-ensembles est bien définie, *i.e.,* indépendante des choix des éléments $\dot{x}$ et $\dot{\sigma}$. Tous les membres de $\mathcal{M}^+$ (resp. $\mathcal{M}^-$) sont conjugués sous $\mathbf{H}$, puisque les $\tilde{\mathbf{M}}_{\dot{x}}$ correspondants sont conjugués sous $\tilde{\mathbf{H}}$.

Parfois, les membres de $\mathcal{M}^+$ et de $\mathcal{M}^-$ deviennent conjugués sous $\mathbf{H}$, mais il est également possible qu'ils restent non conjugués. Par exemple, supposons que $\tilde{\mathbf{G}} = \mathrm{SO}_{4r}$ et $\tilde{\mathbf{M}} = \tilde{\mathbf{L}} \simeq \mathrm{SO}_{2r} \times \tilde{\mathbf{T}}_1$. Soit $\dot{\sigma}$ l'élément $(-1,1) \in \mathrm{SO}_{2r} \times \tilde{\mathbf{T}}_1$. Alors $\tilde{\mathbf{H}} \simeq \mathrm{SO}_{2r} \times \mathrm{SO}_{2r}$. Remarquons que les éléments $\dot{\sigma}$ et $-\dot{\sigma}$ ont les mêmes valeurs propres (avec les mêmes multiplicités) ; ils sont donc conjugués dans $\tilde{\mathbf{G}}$. En effet, soit $\dot{x} \in \tilde{\mathbf{G}}$ une matrice de permutation telle que la conjugaison par $\dot{x}$ échange les deux facteurs de $\mathbf{H}$. On a alors $\dot{x}^{-1}\dot{\sigma}\dot{x} = -\dot{\sigma}$. Il est clair que $\dot{x}\tilde{\mathbf{M}}\dot{x}^{-1}$ et $\tilde{\mathbf{M}}$ ne sont pas conjugués dans $\mathbf{H}$. Au contraire, l'image x de $\dot{x}$ dans PSO_{4r} centralise l'image σ de $\dot{\sigma}$. Par conséquent, les images de $\tilde{\mathbf{M}}$ et de $x\tilde{\mathbf{M}}x^{-1}$, qui restent non conjugués, appartiennent tous les deux à $\mathcal{M}$.

6.6. **Les groupes** Spin **et** $\frac{1}{2}$Spin**.** Si $\mathbf{G}$ est l'un des groupes Spin_m ou $\frac{1}{2}\mathrm{Spin}_{4m}$, posons $\bar{\mathbf{G}} = \mathrm{SO}_m$ ou PSO_{4m}, respectivement. $\bar{\mathbf{G}}$ est donc un quotient de $\mathbf{G}$ par un sous-groupe central de cardinal 2. Définissons $\bar{\mathbf{L}}$, $\bar{\mathbf{T}}_1$, $\bar{\mathbf{H}}$, $\bar{\Sigma}_{\mathrm{ss}}$ et $\bar{\mathbf{M}}_x$ comme étant les images dans $\bar{\mathbf{G}}$ de $\mathbf{L}$, $\mathbf{T}_1$, $\mathbf{H}$, Σ_{ss} et $\mathbf{M}_x$. Le théorème étant déjà établi pour SO_m et PSO_{4m}, on sait que les $\bar{\mathbf{M}}_x$ se répartissent en une ou deux classes de conjugaison sous $\bar{\mathbf{H}}$.

Ainsi que nous l'avons remarqué à la Section 6.2, les questions de conjugaison de sous-groupes de Lévi se résolvent au niveau du graphe de Dynkin : deux sous-groupes de Lévi sont conjugués si et seulement si leur sous-graphes correspondants sont conjugués par le groupe de Weyl. Les $\mathbf{M}_x$ et les $\bar{\mathbf{M}}_x$ étant des sous-groupes de Lévi correspondants de $\mathbf{H}$ et $\bar{\mathbf{H}}$, on voit que la répartition des $\mathbf{M}_x$ en classes de conjugaison sous $\mathbf{H}$ coïncide avec celle des $\bar{\mathbf{M}}_x$ sous $\bar{\mathbf{H}}$.

6.7. **Le cas** $\mathbf{G} = \mathrm{E}_6$**,** $\mathbf{L} = \mathbf{M} = (\mathrm{A}_2)^2$**.** Imposons les hypothèses et prenons les notations de la Remarque 6.3 : on a $\sigma' = x^{-1}\sigma x = z\sigma$ pour un certain $z \in \mathbf{T}_1$.

Le graphe de Dynkin complété $\tilde{\Delta}_{\mathbf{G}}$ contient trois sous-graphes de type $(\mathrm{A}_2)^2$:

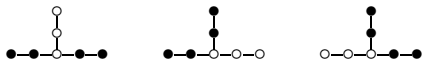

Si $\Delta_{\mathbf{H}}$ ne contient qu'un de ces trois graphes, alors le résultat se déduit des arguments de la Section 6.2. Le seul sous-graphe propre de $\tilde{\Delta}_{\mathbf{G}}$ qui en contient au moins deux est de type $(\mathrm{A}_2)^3$, et celui-ci les contient tous les trois. Supposons désormais que $\mathbf{H}$ est de type $(\mathrm{A}_2)^3$.

Le groupe $\mathbf{H}$ est donc un quotient central de $(\mathrm{SL}_3)^3$. Notons μ_3 le groupe des racines troisièmes de l'unité, identifié avec le groupe des matrices scalaires dans (*i.e.,* le centre de) SL_3. Nous montrons maintenant que

$$\mathbf{H} \simeq (\mathrm{SL}_3 \times \mathrm{SL}_3 \times \mathrm{SL}_3)/\mu_3^{\Delta},$$

où μ_3^{Δ} est l'image du plongement diagonal $\mu_3 \hookrightarrow \mu_3 \times \mu_3 \times \mu_3$. Soit K le noyau de l'application $(\mathrm{SL}_3)^3 \to \mathbf{H}$. D'une part, on sait que $|\mathrm{Z}(\mathbf{G})| = 3$, et donc $|\mathrm{Z}(\mathbf{L})/\mathrm{Z}^\circ(\mathbf{L})|$ doit diviser 3, mais si K était trivial (et donc $\mathbf{H} \simeq (\mathrm{SL}_3)^3$), on pourrait en déduire que $|\mathrm{Z}(\mathbf{L})/\mathrm{Z}^\circ(\mathbf{L})| = |\mathrm{Z}(\mathrm{SL}_3 \times \mathrm{SL}_3)| = 9$. D'autre part, si $|K|$ valait 9 ou 27, il est facile de voir que $\mathbf{L}$ serait à centre connexe, mais pour qu'un groupe de type $(\mathrm{A}_2)^2$ admette un faisceau caractère cuspidal, il ne doit pas être à centre connexe. On conclut que $|K| = 3$, et sans perte de généralité, on peut identifier K avec μ_3^{Δ}.

Par un léger abus de notation, nous allons écrire des triplets $(a, b, c) \in (\mathrm{SL}_3)^3$ pour désigner des éléments de $\mathbf{H}$. Soit $\omega \in \mu_3$ une racine primitive troisième de l'unité. Le centre de $\mathbf{H}$ est l'ensemble $\{(a, b, c) : a, b, c \in \mu_3\}$, où on a, bien sûr, l'identification $(\omega, \omega, \omega) = (1, 1, 1)$.

Notons $\mathbf{T}$ le groupe des matrices diagonales dans SL_3, et soit $\mathbf{M}_1$, $\mathbf{M}_2$, et $\mathbf{M}_3$ les images dans $\mathbf{H}$ de $\mathrm{SL}_3 \times \mathrm{SL}_3 \times \mathbf{T}$, $\mathbf{T} \times \mathrm{SL}_3 \times \mathrm{SL}_3$, et $\mathrm{SL}_3 \times \mathbf{T} \times \mathrm{SL}_3$, respectivement. Ces derniers sont des sous-groupes de Lévi de $\mathbf{H}$ correspondant aux trois graphes ci-dessus. Tout sous-groupe de Lévi de $\mathbf{H}$ de type $(\mathrm{A}_2)^2$ est conjugué à l'un de ces trois. Supposons, sans perte de généralité, que $\mathbf{M} = \mathbf{M}_1$ et que $\mathbf{M}_x$ est égal à l'un de $\mathbf{M}_1$, $\mathbf{M}_2$, $\mathbf{M}_3$. Notre but est donc de démontrer que $\mathbf{M}_x = \mathbf{M}_1$.

Soit U une représentation irréductible de $\mathbf{G}$ de dimension 27, et soit V la représentation naturelle de SL_3 de dimension 3. Alors

$$U|_{\mathbf{H}} \simeq \underbrace{V \otimes V^* \otimes k}_{U_1} \oplus \underbrace{k \otimes V \otimes V^*}_{U_2} \oplus \underbrace{V^* \otimes k \otimes V}_{U_3}.$$

On a $U_i = U^{\mathrm{Z}^\circ(\mathbf{M}_i)}$ pour $i = 1, 2, 3$. (Ici $U^{\mathrm{Z}^\circ(\mathbf{M}_i)}$ désigne le sous-espace de U sur lequel $\mathrm{Z}^\circ(\mathbf{M}_i)$ agit trivialement).

Un élément $(a, b, c) \in \mathrm{Z}(\mathbf{H})$ agit sur U_1 (resp. U_2, U_3) par le scalaire ab^{-1} (resp. bc^{-1}, ca^{-1}). Nous pouvons maintenant identifier $\mathrm{Z}(\mathbf{G})$ comme sous-groupe de $\mathrm{Z}(\mathbf{H})$: c'est l'ensemble des éléments qui agissent sur U par un scalaire,*i.e.,* l'ensemble des triplets (a, b, c) où $ab^{-1} = bc^{-1} = ca^{-1}$:

$$\mathrm{Z}(\mathbf{G}) = \{(1, 1, 1),\ (1, \omega, \omega^2),\ (1, \omega^2, \omega)\}.$$

Bien sûr, on a $\sigma \in \mathrm{Z}(\mathbf{H})$; par contre, $\sigma \notin \mathrm{Z}(\mathbf{G})$ (car $\mathbf{H} = \mathrm{Z}^\circ_{\mathbf{G}}(\sigma)$). Il y a donc six possibilités pour σ :

$$\begin{array}{lll} (1, 1, \omega), & (1, \omega, 1), & (1, \omega^2, \omega^2) \\ (1, 1, \omega^2), & (1, \omega, \omega), & (1, \omega^2, 1) \end{array} \tag{22}$$

Il est à noter que chaque élément de $\mathrm{Z}(\mathbf{H}) \smallsetminus \mathrm{Z}(\mathbf{G})$ agit sur les trois composantes U_1, U_2, U_3 par trois scalaires différents.

Montrons maintenant que $\sigma' \in \mathrm{Z}(\mathbf{H}) \smallsetminus \mathrm{Z}(\mathbf{G})$ aussi. On sait que $\sigma' = z\sigma$ avec $z \in \mathbf{T}_1$. Si $\sigma = (a, b, c)$, alors $\sigma' = (a, b, c')$ pour une certaine matrice $c' \in \mathbf{T}$. Écrivons

$$\sigma' = \left(a, b, \begin{bmatrix} c'_1 & & \\ & c'_2 & \\ & & c'_3 \end{bmatrix}\right), \qquad \text{où } c'_1 c'_2 c'_3 = 1.$$

Cet élément agit sur U_1 par le scalaire ab^{-1}, et ses valeurs propres sur U_2 (resp. U_3) sont $bc_1'^{-1}$, $bc_2'^{-1}$, $bc_3'^{-1}$ (resp. $c_1'a^{-1}$, $c_2'a^{-1}$, $c_3'a^{-1}$), chacune avec multiplicité 3. Mais ses valeurs propres doivent coïncider avec celles de σ : on en déduit immédiatement que c_1', c_2', et c_3' sont des racines troisièmes de l'unité. Ensuite, la condition $c_1'c_2'c_3' = 1$ sur trois racines troisièmes de l'unité implique qu'elles sont soit toutes égales, soit toutes distinctes. Mais si elles étaient toutes distinctes, σ' aurait trois valeurs propres distinctes sur U_2, tandis que σ n'en a que deux sur $U_2 \oplus U_3$. Il faut donc $c_1' = c_2' = c_3'$, *i.e.,* que c' soit une matrice scalaire, et donc que $\sigma' \in \mathrm{Z}(\mathbf{H})$.

Puisque σ agit sur $U_1 = U^{\mathrm{Z}^\circ(\mathbf{M})}$ par ab^{-1}, il faut que σ' agisse sur $U^{\mathrm{Z}^\circ(\mathbf{M}_x)}$ par ab^{-1}. Mais σ' agit sur U_1 par ab^{-1}, et par d'autres scalaires sur U_2 et U_3. On en déduit que $U^{\mathrm{Z}^\circ(\mathbf{M}_x)} = U_1$, et donc que $\mathbf{M}_x = \mathbf{M}$.

6.8. **Le cas $\mathbf{G} = \mathrm{E}_7$, $\mathbf{L} = \mathbf{M} = (\mathrm{A}_1)^3$.** Les hypothèses et notations de la Remarque 6.3 restent en vigueur.

Rappelons que E_7 contient plusieurs classes de conjugaison de sous-groupes de Lévi de type $(\mathrm{A}_1)^3$, dont une seule admet des faisceaux caractères cuspidaux. Le graphe de Dynkin complété $\tilde{\Delta}_{\mathbf{G}}$ contient deux sous-graphes correspondant à cette classe de conjugaison :

Il s'ensuit que $\mathcal{M}$ se répartit en au plus deux classes de conjugaison sous $\mathbf{H}$. Nous démontrons par exemple maintenant que les membres de $\mathcal{M}$ ne sont pas forcément tous conjugués.

Prenons pour $\mathbf{H}$ l'unique sous-groupe (à conjugaison près) de type $\mathrm{A}_3 \times \mathrm{A}_1 \times \mathrm{A}_3$. $\mathbf{H}$ est donc un quotient de $\mathrm{SL}_4 \times \mathrm{SL}_2 \times \mathrm{SL}_4$.

Soit $\mathbf{K}_1$ l'image de $\mathrm{SL}_4 \times \mathrm{SL}_2 \times \mathbf{T}$ dans $\mathbf{H}$, et $\mathbf{K}_2$ l'image de $\mathbf{T} \times \mathrm{SL}_2 \times \mathrm{SL}_4$. Soit $\mathbf{M}_1$ (resp. $\mathbf{M}_2$) le sous-groupe de Lévi (unique à conjugaison près) de $\mathbf{K}_1$ (resp. $\mathbf{K}_2$) de type $(\mathrm{A}_1)^3$. Supposons, sans perte de généralité, que $\mathbf{M} = \mathbf{M}_1$. Il est clair que $\mathbf{M}_2$ n'est pas conjugué à $\mathbf{M}$ dans $\mathbf{H}$.

Puisque $|\mathrm{Z}(\mathbf{G})| = 2$, on sait que $|\mathrm{Z}(\mathbf{K}_1)/\mathrm{Z}^\circ(\mathbf{K}_1)| \leq 2$. D'autre part, le fait que son sous-groupe de Lévi $\mathbf{M}_1$ admette un faisceau caractère cuspidal implique que $|\mathrm{Z}(\mathbf{K}_1)/\mathrm{Z}^\circ(\mathbf{K}_1)| = 2$.

Explicitons le centre de $\mathbf{H}$. C'est un quotient de $\mu_4 \times \mu_2 \times \mu_4$. Des considérations semblables à celles de la section précédente permettent de trouver explicitement le noyau de cette application, en utilisant le fait que $|\mathrm{Z}(\mathbf{K}_1)/\mathrm{Z}^\circ(\mathbf{K}_1)| = 2$ et que le caractère non trivial du centre de $\mathbf{K}_1$ est à restriction non triviale sur chaque facteur quasi-simple de $\mathbf{M}_1$. On trouve qu'on peut identifier

$$\mathbf{H} \simeq (\mathrm{SL}_4 \times \mathrm{SL}_2 \times \mathrm{SL}_4)/\mu_4^\Delta,$$

où $\mu_4^\Delta \subset \mu_4 \times \mu_2 \times \mu_4$ est le groupe cyclique engendré par $(i, -1, i)$.

En particulier, on a $|\mathrm{Z}(\mathbf{H})| = 8$. Deux éléments parmi les 8 constituent $\mathrm{Z}(\mathbf{G})$: à savoir, les triplets $(1,1,1)$ et $(-1,-1,-1)$. L'élément σ doit être l'un des six éléments qui restent. Écrivons un ensemble de représentants de ces six éléments :

$$\text{ordre 4 :} \quad \begin{matrix} (1,1,i) & (1,-1,i) \\ (1,1,-i) & (1,-1,-i) \end{matrix} \qquad\qquad \text{ordre 2 :} \quad \begin{matrix} (1,1,-1) \\ (1,-1,1) \end{matrix}$$

Il est clair que $\mathbf{K}_1$ et $\mathbf{K}_2$ sont conjugués sous $\mathbf{G}$: leurs sous-graphes dans $\tilde{\Delta}_{\mathbf{G}}$ sont conjugués. Soit $x \in \mathbf{G}$ un élément tel que $x\mathbf{K}_1x^{-1} = \mathbf{K}_2$ et $x\mathbf{K}_2x^{-1} = \mathbf{K}_1$. La conjugaison par x préserve $\mathbf{H}$ et donc $\mathrm{Z}(\mathbf{H})$. Puisqu'elle doit également préserver

le facteur de type A_1 dans $\mathbf{H}$, on voit que la conjugaison par x doit stabiliser les deux éléments d'ordre 2 dans $Z(\mathbf{H})$. (Il est à noter que $(1,1,-1) = (-1,1,1)$ dans $Z(\mathbf{H})$).

En résumé, si l'on pose $\sigma = (1,1,-1)$ ou $\sigma = (1,-1,1)$, il existe un $x \in G$ qui stabilise σ, mais tel que $\mathbf{M}_x = \mathbf{M}_2$ n'est pas conjugué dans $\mathbf{H}$ à $\mathbf{M} = \mathbf{M}_1$.

Références

[1] P. Achar et A.-M. Aubert, *Supports unipotents de faisceaux caractères*, Journal de l'Institut de Mathématiques de Jussieu, **6** (2007), pp. 173–207.

[2] A. Borel, *Linear algebraic groups*, Graduate Texts in Math. **126**, 1991.

[3] N. Bourbaki, *Éléments de mathématique*, Fasc.XXXIV., *Groupes et algèbres de Lie*, Chapîtres IV, V et VI : Groupes de Coxeter et systèmes de Tits, Groupes engendrés par des réflexions, Systèmes de racines., Hermann & Cie., Paris, 1968.

[4] G. Lusztig, *Intersection cohomology complexes on a reductive group*, Invent. Math. **75** (1984) pp. 205–272.

[5] G. Lusztig, *Character sheaves*, Advances in Math. **56** (1985) pp. 193–237, **57** (1985) pp. 226–265, **57** (1985) pp. 266–315, **59** (1986) pp. 1–63, **61** (1986) pp. 103–155.

[6] G. Lusztig, *On the character values of finite Chevalley groups at unipotent elements*, J. Algebra **104** (1986) 146–194.

[7] C. Mœglin et J.-L. Waldspurger, *Paquets stables de représentations tempérées et de réduction unipotente pour* $SO(2n+1)$, Invent. Math. **152** (2003) pp. 461–623.

[8] V. Ostrik, *A remark on cuspidal local systems*, Adv. Math. **192** (2005), no. 1, pp. 218–224.

[9] T. Shoji, *Character sheaves and almost characters of reductive groups*, Adv. Math. **111** (1995), pp. 244–313.

[10] T. Shoji, *Character sheaves and almost characters of reductive groups, II*, Adv. Math. **111** (1995), pp. 314–354.

[11] T. Shoji, *Unipotent characters of finite classical groups*, in "Finite reductive groups : related structures and representations", Proceedings of an international conference held in Luminy, Progress in Math. Vol. **141** (1997), pp. 373–413.

[12] J.-L. Waldspurger, *Une conjecture de Lusztig pour les groupes classiques*, Mém. Soc. Math. France **96** (2004).

Department of Mathematics, Louisiana State University, Baton Rouge, LA 70803, USA

Adresse courriel : `pramod@math.lsu.edu`

C.N.R.S., Institut de Mathématiques de Jussieu, 175 rue du Chevaleret, 75013 Paris, France

Adresse courriel : `aubert@math.jussieu.fr`